

# TECHNIKA CIEPLNA

Organ Stowarzyszenia Dozoru Kotłów w Warszawie

Redaktor: Inż. techn. JAN KOMARNICKI.

Wydawca: Stowarzyszenie Dozoru Kotłów w Warszawie.

REDAKCJA i ADMINISTRACJA: Warszawa, Chmielna 2, m. 6. Tel. 275-45.

PRENUMERATA KWARTALNA: Zł. 3. Pojedynczy zeszyt Zł. 1. CENY OGŁOSZEŃ: 1/1 str. Zł. 160, 3/4 str. Zł. 135, 1/2 str. Zł. 100. 1/4 str. Zł. 55, 1/8 str. Zł. 30. WKŁADKI: Zł. 25 od 1000 egzemplarzy. DOPLATY: 50% za ogłoszenia na pierwszej i ostatniej stronie okładki i na wkładkach.

## W. BUDZIŃSKI

INŻYNIER - DORADCA

WARSZAWA, SMOLNA 25. TEL. 39-32. OD 2½ DO 4½ POPOŁUDNIU.

PORADY w zakresie: kotłów parowych, kompletnych centrali siły i ciepła. OCENY kotłów parowych, maszyn i całych fabryk. PORADY dotyczące kupna i sprzedaży powyższych przedmiotów.

131-S

FABRYKA APARATÓW ELEKTRYCZNYCH  
**K. SZPOTANSKI i S<sup>KA</sup>**

Spółka Akcyjna

Warszawa, Kałuszyńska 4, tel. 90-43 i 90-65.

Aparaty Wysokiego Napięcia

6.000 — 24.000 woltów.

-:- Dostawa ze składu. -:-

186-S

## W. FITZNER

SPÓŁKA Z OGR. ODP.

**SIEMIANOWICE, G. ŚL.**

Zakłady Spawania Wodno-Gazowego  
Wytwórnia Kotłów Parowych i Warsztaty Mechaniczne

Rok zał. 1869.

Rządowy Medal Złoty za wyroby przemysłowe.

Rok zał. 1869.

Budowa kotłów parowych wszelkich systemów, najnowsze kotły Garbego ze strömami opłomkami P. R. N. Kotły Fitznera komórkowo - opłomkowe i ze strömami opłomkami.

Rusztły łańcuchowe i t. p. Podgrzewacze pary. Ekonomizery.

Urządzenia do czyszczenia wody. Przewody rurowe wysokiego i niskiego ciśnienia. Przewody kanalizacyjne, turbinowe i syfonowe.

Spawane i nitowane aparaty dla przemysłu chemicznego i jemu pokrewnych gałęzi przemysłu  
Zbiorniki do wież ciśnień. Warniki do celulozy i t. p.

**SPECJALNOŚĆ:** Kotły parowe wszelkich systemów i wyroby spawane z blachy żelaznej.

KATALOGI I CENNIKI BEZPŁATNIE.

Przedstawicielstwa:

Na cały były zabór rosyjski,  
Wielkopolskę i Pomorze:

**W. BUDZIŃSKI, Inż. - Mechanik,**  
Warszawa, Smolna 25. Tel. 39-32.

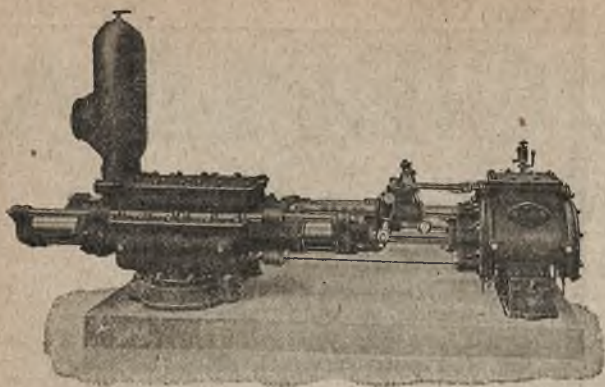
Na województwa Lwowskie  
Stanisławowskie i Tarnopolskie,

**Inż. KAZIMIERZ NEYMAN.**  
Lwów, Nabelska 20.

Na województwo Krakowskie  
i polską część Śląska Cieszyńskiego

**Inż. EMIL FLACH**  
Kraków, Bracka 6. Tel. 2456.





ZAKŁADY MECHANICZNE I ODLEWNIA  
**ROHN, ZIELIŃSKI i S-ka**

Sp. Akc.

**WARSZAWA, JEROZOLIMSKA 105,**

Telefon 5-88 i 58-83.

**POMPY** do zasilania kotłów parowe,  
s. Worthingtona, transmisyjne.  
odśrodkowe. 136—S

# „LILPOP RAU I LOEWENSTEIN“

Akcyjne Towarzystwo Przemysłowe Zakładów Mechanicznych w Warszawie.  
Zakłady istnieją od r. 1818.

**Kapitał zakł. przedwojenny 4.000.000 rubli. Kapitał zakładowy obecny 9.800.000 zł.**

1. Wagony towarowe i osobowe dla dróg żelaznych, oraz tramwajów konnych i elektrycznych.
2. Wagony specjalne do przewozu spirytusu, nafty i t. p. Wagony chłodnie do przewozu mięsa, piwa, masła i t. p.
3. Koła, osie, resory i wogóle części zapasowe do wagonów różnych typów.
4. Zwrotnice, krzyżownice i akcesorja relsowe.
5. Konstrukcje żelazne.
6. Rury wodociągowe stojąco-lane.
7. Młoty parowe.
8. Wszelkie odlewy żelazne wagi 30.000 kg. sztuka.
9. Pontony i utensylja saperskie.
10. Maszyny i urządzenia dla zakładów ceramicznych.

Adres telegraficzny, „Lilpoprau-Warszawa“.

Zarząd i Dyrekcja w Warszawie, ul. Bema Nr. 65.

153—4

# RURY FALISTE

Stanowią nieodzowny element przy budowie przewodów parowych na wysokie ciśnienie przy przegrzanej parze.


Wszelkiego rodzaju wyroby (zbiorniki rury fasonowe, kominy i t. p.) z blachy żelazne, spawane acetylenem.

Projekty przewodów wszelkiego rodzaju sporządza

Fabryka Przewodów Rurowych. Maciejewski i S-ka „COMPENSATOR”  
Warszawa, ul. Przemysłowa 32, Tel.: 18-72 Telegr.: Compensator, Warszawa.

111—2





**ST. WEIGT i S<sup>KA</sup> ŁÓDŹ**

Kotły pokojowe  
centralnego ogrzewania

**„E S W U”**

dla mieszkań prywatnych

Willi  
Biur  
Dworów  
Składów  
Garaży  
Fabryk  
i Szkół

UWAGA: Kotły pokojowe „ESWU” o estetycznym wyglądzie mieszczące się w pomieszczeniu ogrzewanym, bezpośrednio nagrzewają pomieszczenia i nie wymagają piwnic i wodociągów

Oferty żądajcie od Koncesjonowanych instalatorów.

175-1

W Listopadzie

ukaze się specjalny zeszyt

**TECHNIKI CIEPLNEJ**

poświęcony

**Przemysłowi Elektrownianemu**

---



---

Ogłoszenia do tego zeszytu przyjmuje zawczasu  
Administracja Wydawnictwa w Warszawie,  
Chmielna 2, m. 6 oraz wszelkie Biura Ogłoszeń  
w Polsce.



# Pożyteczność ogłoszeń

Jeden ze stałych klientów naszego działu ogłoszeniowego oświadczył nam niedawno, co następuje:

*„Ogłoszenie moje podsunęło pewnemu technikowi nową myśl i pomogło mu do osiągnięcia poważnych oszczędności na paliwie. Zagadnienie tak było łatwe i proste, że technik ów później ze śmiechem podziwiał samego siebie, że dotąd nie wpadł na ten pomysł. Otóż ile razy konferuję z technikami stale staram się podsuwać im wszelakie korzystne koncepcje“.*

Tyle przedstawiciel jednej z firm ogłaszających u nas.

Inni klienci podawali nam zdarzenia podobne.

Na tej podstawie czujemy się upoważnieni do polecenia najbaczniejszej uwadze uaszych czytelników treści ogłoszeń w Technice Ciepłej, gdyż podawane w ogłoszeniach informacje nieraz przydać im się mogą przy rozwiązywaniu różnych zagadnień praktycznych.

Prosimy przekonać się o tem z własnego doświadczenia.

# TECHNIKA CIEPLNA

Organ Stowarzyszenia Dozoru Kotłów w Warszawie.

Redaktor: Inż. techn. JAN KOMARNICKI.

Wydawca: Stowarzyszenie Dozoru Kotłów w Warszawie.

TREŚĆ. Prof. Cz. Grabowski. Wartość opałowa jako pojęcie techniczne. — Prof. I. Feszczenko-Czopłowski. Próby hartowalności blach kotłowych i ich wartość technologiczna. — Prof. K. Taylor i prof. W. Iwanowski. Spirytus jako paliwo do silników. — K. Bizański, inż. Wybuch kotła parowozu bezpaleniskowego. Z CODZIENNEJ PRAKTYKI STOWARZYSZENIA: M. D. inż. Wady konstrukcyjne lokomobil z paleniskiem wysuwaniem. KOMUNIKATY STOWARZYSZENIA: Zmiana adresu biura rejonowego w Kielcach.

SOMMAIRE: Cz. Grabowski, proff. La valeur calorifique comme une notion technique.—I. Feszczenko-Czopowski, proff. L'endurcissement des tôles des chaudières et sa valeur technologique. — K. Bizański, ing. L'explosion de la chaudière d'une locomotive sans foyer. — RENCEIGNEMENTS PRATIQUES: M. D. ing. Les défauts constructifs des locomobiles au foyer detachable. INFORMATIONS de la SOCIÉTÉ: La change d'adresse du bureau regional de Kielce.

Prof. Cz. GRABOWSKI. Warszawa.

## WARTOŚĆ OPAŁOWA JAKO POJĘCIE TECHNICZNE.

por. *Technika Ciepłna*, 1927, str. 79.

### 2. Porównanie warunków spalania paliwa w bombie kalorymetrycznej i w paleniskach.

Jak dopiero co powiedzieliśmy, przyjęc można, że w bombie kalorymetrycznej reakcje chemiczne zachodzą w temperaturze około  $15^{\circ}\text{C}$ .

Do tej temperatury zwykle stosują się efekty cieplne reakcji chemicznych, podawane w różnych podręcznikach.

Gdybyśmy jednak jako efekt cieplny charakterystyczny dla pewnej reakcji chemicznej przyjęli ciepło tej reakcji w temperaturze zera absolutnego, nprz. dla reakcji  $\text{C} + \text{O}_2 = \text{CO}_2 + W_0$  i gdybyśmy założyli, że reagenty (t. j. C i  $\text{O}_2$  — t. zw. „substraty“ reakcji) ogrzane zostały od  $0^{\circ}\text{abs}$ . do pewnej temperatury T (np. do  $15^{\circ}\text{C}$ , a w tej temperaturze przeprowadzilibyśmy reakcję izotermicznie, to (zgodnie z prawem Kirchhoffa\*) efekt cieplny  $W_T$  w owej temperaturze moglibyśmy określić według następującego bilansu cieplnego.

Wprowadzono:

1) bezwzględne ciepło spalania . . .  $W_0$

2) zawartość cieplną\*) węgla i tlenu, liczoną od  $0^{\circ}\text{abs}$  do temperatury T. . .  $J_C + J_{\text{O}_2}$   
otrzymano

- 1) zawartość cieplną produktów reakcji  $J_{\text{CO}_2}$ ;
- 2) efekt cieplny reakcji w temp. T.  $W_T$

a więc  $W_T = W_0 + (J_C + J_{\text{O}_2}) - J_{\text{CO}_2}$

a zatem  $W_T \gtrsim W_0$ ,

zależnie od temperatury, od ciepła właściwego, od ciepła topnienia i t. d. Wogóle efekt cieplny reakcji przeprowadzonej izotermicznie pod stałym ciśnieniem dla każdej temperatury posiada własną wartość  $W_T$ .

Oznaczywszy doświadczalnie ciepło reakcji dla pewnej temperatury  $T_1$  na podstawie wyżej wyjaśnionego prawa Kirchhoffa możemy określić ciepło tej reakcji w dowolnej innej temperaturze  $T_2$ , przeprowadzonej w identycznych warunkach pod względem ciśnienia. Ze wszystkich tych wartości z punktu widzenia termochemicznego głębsze znaczenie posiada wyżej wspomiana wartość

\*) Przykłady zastosowania tego prawa czytelnik znajdzie w ogólnie znanym dziele prof. W Schülego: „Technische Thermodynamik“ (w 3 wyd. 1920 r str. 142 i nast. w wyd. 4 r. 1923 str. 165 i nast.)

\*) „Zawartość“ (Wärmeinhalt) lub „wartość“ cieplna.



$W_0$ , która charakteryzuje reakcję chemiczną w temperaturze zera bezwzględnego \*).

W temperaturze zwykłych naszych palenisk (około 1000°) ciepło spalania różnych gatunków paliwa jest inne, niż w temperaturze laboratoryjnej; w zwykłych paleniskach zostaje ono zużyte na podgrzanie reagentów, t. j. powietrza i paliwa, a także (przez promieniowanie) bywa częściowo wyzyskane użytecznie (naprz. na parowanie wody w kotle parowym), częściowo zaś przez drzwiczki lub ściany paleniska rozprasza się nieużytecznie. Chcąc jednak określić ciepło spalania dla warunków, jakie panują w naszych piecach i paleniskach, musimy przedewszystkiem zastanowić nad tem, jaki wpływ na skład produktów spalania wywiera wysokie ciśnienie w kalorymetrze.

Wyobraźmy sobie, że bomba kalorymetryczna jest cylindrem o znacznej pojemności, zaopatrzonym w bezwzględnie szczelny tłok; napełnijmy ją, jak zwykle, tlenem pod ciśnieniem

\*) Jeżeli założymy, że w temp. 0° abs odwracalna reakcja chemiczna (np. reakcja  $2CO + O_2 \rightleftharpoons 2CO_2$ ) wykonana została w t. zw. układzie skondensowanym (t. j. w takich warunkach, że prężności par zarówno substratów jak i produktów reakcji mogą być uważane jako równe zeru), to według prawa Nernsta efekt cieplny tej reakcji będzie się równał t. z. pracy maksymalnej  $W_0 = \frac{1}{427} A$ .

Pod pracą maksymalną w termochemii rozumiemy fikcyjną pracę „techniczną“ (w znaczeniu tego słowa, stosowanym w „Termodynamice“ prof. Stefanowskiego str. 16—18) zużytą na wprowadzenie substratów reakcji do t. zw. „pułki Van't Hoffa“ (przy pomocy pomp, posiadających tłoiki z błon półprzepuszczalnych), a następnie na odprowadzenie z tego pułki odpowiednich produktów reakcji. Pułka Van't Hoffa jest to naczynie, w którym pewna odwracalna reakcja chemiczna zachodzi izotermicznie i w którym ustaliła się już równowaga chemiczna. Praca maksymalna zależy do temperatury i od ciepła reakcji (według wzoru

$$\frac{1}{427} A = W_0 - T \int_0^T \frac{dW}{T};$$

dla reakcji gazowych odwracalnych (np. dla reakcji chemicznej dysocjacji dwutlenku węgla  $2CO_2 \rightleftharpoons 2CO + O_2$ ) praca ta test funkcją t. zw. spórczynnika równowagi reakcji  $A = -RT \ln K$ , gdzie  $R$  molowa stała gazowa, spórczynnik równowagi  $K = \frac{P^2_{CO_2}}{P^2_{CO} P_{O_2}}$ , zaś  $P$  będą to ciśnienia cząstkowe odpowiednich reagentów w pułce Vant'Hoffa pod sumarycznym ciśnieniem przyjętem = 1.

Sprawy te poruszyłem w artykule niniejszym jedynie dla tego, żeby wykazać, że pomiędzy ciepłem spalania bezwzględnem (t. j. w temp. 0° abs) i dysocjacją gazów spalinowych w wysokich temperaturach zachodzi związek bezpośredni, a więc dla badania zjawisk cieplnych temperatury zera absolutnego nie jest bynajmniej oderwaną od życia fantazją, lecz posiada głębsze znaczenie naukowe.

Szczegółową teorię praw termochemii, o których wyżej wspominałem, czytelnik znajdzie w wyżej wymienionem dziele Schülego (rozd. III „Termodynamik chemischer Reaktionen“ wyd. 3 rok 1920 str. 128—225, wyd. 4 r. 1923—str. 151—253). W języku polskim w niedalekiej przyszłości wyjdzie III tom „Chemii fizycznej“ prof. W. Świętosławskiego, który obejmować będzie termochemię i elektrochemię.

$21 \frac{kg}{cm^2}$  abs. t. 20,3 abs. atm. fiz.), a następnie

dajmy możność rozprężania się tlenu do ciśn.  $1 \frac{kg}{cm^2}$  abs, wskutek czego objętość gazu równa pierwotnie 300 cm<sup>3</sup> wzrośnie do 6300 cm<sup>3</sup>. Dla gazu doskonałego, jakim jest tlen, można przyjąć, że zawartość cieplna tego gazu podczas rozprężania izotermicznego nie uległa zmianie, a zatem zawartość cieplna tlenu przed spalaniem w owym cylindrze jest taka sama, jak i w bombie pod ciśnieniem 20 atm. Gdyby po spaleniu próbki paliwa pod ciśnieniem 1 atm para wodna skropliła się całkowicie, to efekt cieplny spalania byłby ten sam co i w bombie, gdyż gazy spalinowe, jako gazy doskonałe, posiadałyby jednakowe zawartości cieplne pod ciśnieniem 20 i pod ciśnieniem 1 atm. W rzeczywistości w cylindrze część wody pozostałaby w stanie pary, a mianowicie w 15° C pod ciśnieniem 1 atm, miałibyśmy około  $0,214 \times 20,4^*) = 4,4$  milimoli pary wodnej, t. j. w tych warunkach około 16 $\frac{1}{2}$ % całej zawartości H<sub>2</sub>O byłoby w stanie pary. Tak więc efekt cieplny takiego spalania byłby odpowiednio mniejszy, niż w bombie kalorymetrycznej. Jeżeli jednak zastanowimy się bliżej nad tą różnicą, to dojdziemy do wniosku, 1) że różnica ta będzie tem większą, im większy nadmiar tlenu użyty był do spalania (a zatem im większe ciśnienie tlenu zastosowaliśmy w bombie), 2) dla paliwa, które nie zawierałoby ani wody, ani wodoru, ciśnienie w kalorymetrze nie wywierałoby wpływu na ciepło spalania\*\*).

Widzimy więc, że (o ile w kalorymetrze para wodna skrapla się prawie całkowicie), to ciśnienie w bombie kalorymetrycznej bezpośredniego wpływu na ciepło spalania nie wywiera, a zatem ciepło spalania oznaczone przy pomocy bomby może służyć za podstawę do oceny zjawisk cieplnych w piecach i paleniskach. Dogodność stosowania ciepła spalania, oznaczonego pod ciśnieniem 20 atm., polega na tem, że możemy przyjąć z dokładnością dostateczną do celów praktycznych, iż w produktach spalania cała zawartość wody znajduje się w stanie ciekłym.

Tak więc ciepło spalania lub wartość opałowa t. zw. górna 1) określa nam ciepło spalania paliwa w temperaturze laboratoryjnej, t. j. zbliżonej do temperatury powietrza, zwykle wpro-

\*) Jeżeli przyjmujemy, że po spalaniu w bombie ciśnienie spada do 20,4  $\frac{kg}{cm^2}$ . W rzeczywistości przy niepełnem skropleniu pary wodnej byłoby ono nieco wyższe.

\*\*) gdyż dla gazów doskonałych praca techniczna  $L_1 = \int_1^2 v dp$  oddana na zewnątrz podczas rozprężania izotermicznego równa się energii pobranej przez gaz w celu powiększenia objętości  $L_2 = \int_1^2 p dv$  (t. zw. pracy sił zewnętrznych).

wadzanego do instalacji cieplnych, 2) charakteryzuje paliwo w założeniu, że produkty spalania posiadają tę samą temperaturę laboratoryjną i zawierają wodę całkowicie skroploną, 3) praktycznie biorąc jest wartością niezależną od ciśnienia, pod jakim zachodzi spalanie. Wydaje się nam

zatem rzeczą naturalną, że taka wartość opałow służyć może za podstawę do naukowego układania bilansów cieplnych instalacji technicznych, a zatem z wartości opałowej górnej skorzystamy w celu wyjaśnienia zasad zestawienia bilansów cieplnych kotłów parowych.

I. FESZCZENKO-CZOPIWSKI, prof. Akad. Górni. w Krakowie.

## O TECHNOLOGICZNEJ WARTOŚCI PRÓB HARTOWALNOŚCI MATERJAŁU BLACH KOTŁOWYCH.

§ 57. W warunkach technicznych na dostawę blach kotłowych spotykamy często przepis badania hartowalności materiału w następujący sposób: Próby blach o grubości 20 mm. i szerokości 40 mm. przy długości nie mniejszej jak 250 mm. po ogrzaniu do jasno-czerwonej barwy należy szybko ochłodzić w wodzie a następnie zgnać o 180°. Przy grubości większej niż 20 mm. jedna strona próbki powinna być sheblowana do grubości 20 mm., a proces gięcia dokonany w ten sposób, aby strona sheblowana znajdowała się wewnątrz. Dobry materiał po takiej próbie nie powinien dawać pęknięć, kąta zgięcia, przy którym nastąpi pęknięcie jest miarą stopnia hartowalności stali.

Powstaje pytanie: co może dać opisana próba gięcia zahartowanych kawałków miękkiego żelaza, jak trzeba traktować wyniki tego badania i w jakim celu wymagany jest brak hartowalności materiału blach kotłowych.

Z metalografii wiadomo, że miękka stal, zawierająca około 0,1% węgla w zwykłych warunkach szybkiego chłodzenia w wodzie od temperatury nieco powyżej  $A_3$  (906°), lecz nie wyżej 950° (temperatura jasno-czerwonej barwy) nie daje się hartować. *Sauvageot i H. Delmas*\*) jednak dowiedli, że nawet bardzo miękka stal, zawierająca poniżej 0,1% węgla może być zahartowana, — lecz temperatura hartowania musi być bardzo wysoka, bliska do temperatur linii solidus'a (na rys. 97—*AHJE*) t. j. do temperatur początku topienia. Wyżej wymienieni autorowie badali hartowalność stali martenowskiej o zawartości węgla — 0,09%, manganu — 0,33% ze śladami innych domieszek. Okazało się przytem, że mechaniczne właściwości próbek, hartowanych od temperatury 950° i wyżej pozostawały prawie bez zmiany aż do temperatury hartowania 1350°. Próbki hartowane przy tej temperaturze wykazały znaczny wzrost wytrzymałości i twardości, a jednocześnie — zmniejszenie ciągliwości. Po hartowaniu w wodzie od temperatury 1450° osiągnięto takie maksymalne wartości: wytrzymałość około 90 kg/mm<sup>2</sup>; granica sprężystości zbliżona do wartości

wytrzymałości; twardość — około 300 kg/mm<sup>2</sup>; wydłużenie jednostkowe, jak również i przewężalność wynosiły prawie zero. Próbki, hartowane od tych samych temperatur w oleju wykazały analogiczny charakter zmian właściwości mechanicznych może jednak nie tak ostry. Powolne stygnięcie próbek od 1450° C spowodowało objawy przegrzania, t. j. obniżenie właściwości mechanicznych. Odpuszczanie próbek, hartowanych od 1450° powoduje takie same skutki jak i odpuszczanie zwykłych stali węglistych hartowanych.

Badania mikroskopowe potwierdzają wyżej opisaną analogję: próbki miękkiej stali, hartowane od 1450°, wykazały budowę martenzytową, a hartowane od tej temperatury i następnie odpuszczone — budowę troostytową lub sorbityczną zależnie od stopnia odpuszczenia, analogicznie jak dla stali węglistych termicznie ulepszonych.

Hartowanie żelaza — *Armco* (czyste żelazo, prawie bez żadnych domieszek) od tej samej temperatury nie wykazało jednak tak wyraźnej analogji. W odpowiedni sposób hartowana próbka żelaza-*Armco* wykazała wytrzymałość — 54 kg/mm<sup>2</sup>, a twardość — 185 kg/mm<sup>2</sup>.

Niżej umieszczono porównawcze badania twardości metodą Brinell'a czterech gatunków stali małowęglistej, zależnie od temperatury hartowania i szybkości chłodzenia. Okazuje się, że próbki, zawierające bardzo mało węgla i manganu nie wykazują tak wyraźnych zjawisk hartowania nawet przy ogrzewaniu do temperatury białego żaru.

	Twardość w skali Brinell'a (kg/mm <sup>2</sup> ) próbek hartowanych od temperatury		
	1450° w wodzie	1450° na powietrzu	900°
	Miękkie żelazo martenowskie o zawartości 0,10% C i 0,42% Mn . . . . .	254	117
Żelazo fryszerskie o zawartości 0,10% C i 0,48% Mn . . . . .	302	121	114
Żelazo szwedzkie o zawartości 0,10% C i 0,48% Mn . . . . .	267	117	110
Żelazo pudlarskie o zawartości 0,05% C i 0,08% Mn . . . . .	108	94	103

\*) *Revue de Métallurgie* mem. 1923, 777—796.







wie innych właściwości mechanicznych. Tego rodzaju kruchość nazywamy kruchością wyżarzania (temper brittleness, Anlasssprödigkeit, fragilité de revenu). O ile badany materiał poprzednio był odkształcony, a temperatura ogrzewania nie przekroczyła temperatury przemiany allotropowej to w czasie przebywania tej próbki w temperaturach rekrytalizacji (patrz § 9-y) zachodzi proces wzrostu ziaren w tem większym przytem stopniu im dłużej materiał przebywał w zakresie temperatur rekrytalizacji. Zjawiska rekrytalizacji wpływają ujemnie na stan kruchości materiału.

Jeżeli temperatura, do której materiał była ograniczona jest wyższą od temperatury przemiany allotropowej „ $\alpha'' \rightarrow \gamma''$ ” to materiał hartuje się lecz stopień zupełnej hartowalności wymaga ogrzania do temperatury powyżej krzywej  $xy$  (patrz rys. 97), która leży tem wyżej im mniej węgla (według twierdzenia *Sauvageot'a* i *H. Delmasa*) a według mego zdania również im mniej tlenu i fosforu zawiera dany materiał. Dla każdego miękkiego materiału istnieje odpowiednia temperatura hartowania, od której materiał daje wyraźne pęknięcie przy gięciu. Występuje ono przy tem mniejszym kącie zgięcia im więcej zanieczyszczeń zawiera dany materiał.

§ 58 — Poniżej podane są właściwości mechaniczne materiałów trzech blach kotłowych oznaczanych przez Nr. 13, 14 i 15 składzie chemicznym jak niżej;

Nr 13: Węgla = 0,11%; krzemu = 0,022; manganu = 0,49  
fosforu = 0,053; siarki = 0,04;  
Nr 14: Węgla = 0,10; krzemu = 0,030; manganu = 0,51;  
fosforu = 0,086; siarki = 0,04;  
Nr 15: Węgla = 0,09; krzemu = 0,025; manganu = 0,54;  
fosforu = 0,035; siarki = 0,035;

a mianowicie:		Błacha Nr 13	Nr 14	Nr 15
Odporność na uderzenia (U) $\text{kgm/cm}^2$	przy — 15°C: =	5,1	1,3	2,9
	0°—	7,2	2,4	6,8
	+ 15	9,2	7,0	9,5
	+ 100	13,7	11,3	12,6
	+ 150	12,9	10,6	12,4
	+ 200	10,1	10,0	11,0
Twardość w skali Brinell'a (H) $\text{kg/mm}^2$		120,0	106,5	137
Granica płynności (Q) $\text{kg/mm}^2$		25,2	22,3	23,0
Wytrzymałość (R) $\text{kg/mm}^2$		40,3	38,7	38,1
Wydłużenie (A) %		33,0	30,0	29,3
Przewężenie (C) %		60,5	61,3	60,3
Stosunek Q:R w %		62,5	57,6	60,5
Stosunek H:Q		4,76	4,78	5,96
Temperatura hartowania (w °C) powodująca powstawanie rys podczas gięcia		950	900	1150

Z tego zestawienia stwierdzamy, że hartowanie od temperatury 900—1000° materiału blachy Nr. 15 i hartowanie od temperatury około 900° materiału blachy Nr. 13 w pewnym stopniu uszlachetniło powyższe materiały, które w stanie dostarczonym wykazały szeroki zakres kruchości na zimno i dość grube ziarno. Stosunek Q:R w stanie dostarczonym był znacznie niższy od sto-

sunku Q:R w stanie hartowanym od tej temperatury. Stopień tego ulepszenia można ocenić porównywując własności mechaniczne blachy Nr. 13 w stanie dostarczonym i hartowanym w wodzie od 930°.

	w stanie dostarczonym	w stanie hartowanym od 930°
Odporność na uderzenie (U) $\text{kgm. cm}^2$	przy — 15°C. 5,1	11,0
	0	11,5
	+ 15	12,4
	100	12,5
	+150	12,6
	+200	12,8
Twardość w skali Brinell'a (H) $\text{kg/mm}^2$	120,0	137*
Granica płynności (Q) $\text{kg/mm}^2$	25,2	38,8
Wytrzymałość (R) $\text{kg/mm}^2$	40,3	52,3
Wydłużenie (A) %	33,0	16,8
Przewężenie (C) %	60,5	47,5
Stosunek Q:R w %	62,5	72,3
Stosunek H:Q	4,76	3,54

Wyjaśnienia wysokiego stopnia hartowalności blachy Nr. 14 trzeba szukać w jej składzie chemicznym (wysoka zawartość fosforu), w jej budowie (znaczna zawartość żużli o charakterze tlenków, spowodowanych widocznie niepełnym odtlenieniem metalu jeszcze w piecu martenowskim). Wysoki stopień hartowalności powoduje silne obniżenie stosunku H:Q w stanie hartowanym.

§ 59. Gięcie prób stali w stanie przekutym i zahartowanym (badanie stopnia hartowości stali) jest decydującem przed spustem metalu z pieca martenowskiego. Wtedy kąt gięcia i charakter pęknięcia decyduje przede wszystkim o stopniu twardości materiału, t. zn. o zawartości węgla, a zatem o stopniu odtlenienia. Tego rodzaju zdanie możemy wypowiedzieć na podstawie wyników gięcia prób materiału blach kotłowych w stanie hartowanym od temperatur bliskich lecz nieco wyższych od  $A_{c_3}$ , a praktycznie biorąc—od temperatury około 950°, którą określamy ogólnikowo w skali barw temperaturą jasno-czerwoną. Wtedy pęknięcie przy małym kącie gięcia wskazuje, że stal zawiera: a) nieco więcej węgla niż to jest koniecznem, by miękka stal hartowana od temperatury czerwonego koloru nie przyjęła hartu; b) że oprócz tego stal jest utlenioną, że stal zawiera liczne wtrącenia żużlowe o charakterze tlenków. Wpływy obu tych czynników sumują się, lecz wpływ pierwszego czynnika przeważa. Wydzielenie jednego z tych wpływów jedynie na podstawie próby gięcia materiału w stanie hartowanym jest niemożliwe. Niezbędne są dodatkowe badania metalograficzne.

Próba hartowalności może być wskazana jedynie przy ocenie blach miękkich, o zawartości węgla 0,10—0,12%. O ile zaczniemy korzystać

\*) Żelazo Nr. 13 w stanie dostarczonym posiadało twardość = 120  $\text{kg/mm}^2$ ; wyżarzonym = 103,5; hartowanym od 700° = 115; 800° = 121 i 900° = 126 1000° = 137; 1100° = 143; 1200° = 163  $\text{kg/mm}^2$ .

z materiału o większej zawartości węgla, jak to obecnie dopuszczają normy amerykańskie aż do zawartości 0,25%C, to próba gięcia przestaje być celową. Stopień hartowalności stali miękkich zmniejsza się ze zwiększeniem stopnia ich wydłużalności. Dlatego, o ile wymagany jest wysoki stopień wydłużalności materiału blach kotłowych próby hartowalności przez gięcie będą

wskazane. Jednak słuszność prawie powszechnie przyjętego wymagania wysokiej ciągliwości materiału blach kotłowych jest wątpliwa, szczególnie kiedy stopień ciągliwości jest ustalony przez określenie wydłużenia jednostkowego na próbach rozerwania, dokonywanych w temperaturach zwykłych. Podstawy tego twierdzenia omówimy w następnym artykule.

Prof. K. TAYLOR i Prof. W. IWANOWSKI, Warszawa.

## SPIRYTUS JAKO PALIWO DO SILNIKÓW.

(por. *Technika Ciepła*, 1927 str. 93)

TABELA II.

Próby silnika Renault I o mocy 31 KM; karburator Zenith.

Moc przenoszona na hamulec Prony'ego o ramieniu 1,2 m.

Obciążenie ramienia 10 kg.

Przekładnia 1 : 1.

Symbol mieszanki	Średnica dyszy	Liczba obr. min	Czas biegu silnika na 5,31 ltr. paliwa	Rozchód paliwa w ltr. na g.	Różnica w procentach		
					w mocy	w rozchodzie mieszanki	ogólna
Benzyna	1,10 mm.	1580—1600	27 min	11,8	—	—	—
A—1	1,25	—	—	15,1	—	27,7	—
A—1	1,20	—	—	14,9	—	24,8	—
A—2	1,20	—	—	13,55	—	14,4	—
A—2	1,15	(ciężarek na	plywaku)	13,75	—	15,2	—
A—3	1,10	—	—	14,4	—	21,6	—
B—1	1,10	—	22,25	14,2	—	20,5	—
B—2	1,10	—	23,7	13,8	—	15,5	—
B—3	1,15	—	23,15	13,7	—	15,0	—
C—1	1,15	1530—40	24,20	13,1	4,0	10,8	14,8
C—2	1,15	1500—60	23,56	13,35	2,3	12,4	14,7
C—3	1,15	1500—20	23,15	13,75	5,6	15,2	20,8
D—1	1,15	1520—40	24,15	13,15	4,0	10,9	14,9
D—2	1,15	1550—60	24,35	12,95	2,3	9,7	12,0
D—3	1,15	1510—20	23,24	13,65	5,0	12,6	17,6
E—1	1,15	1520—30	22,32	14,1	4,2	13,2	17,4
E—2	1,17	1530—40	23,47	13,43	4,0	13,5	17,5
O—2	1,15	1540—	22,32	14,1	3,3	13,2	16,5
O—3	1,15	—	21,5	15,0	—	27,8	—
B—2	1,15	1480—500	24,7	13,3	6,7	12,3	19,0
C—2	1,15	1470—80	23,47	13,45	7,2	13,4	20,6
D—2	1,17	1540—60	22,55	13,95	3,0	18,0	21,0

TABELA 3.

Próby silnika „Ford“ o mocy 14—22 KM; karburator Ford.  
Obciążenie ramienia hamulca 6,5 kg.  
Przekładnia 1 : 1.

Symbol mieszanki	Liczba obrotów na min.	Rozchód w litrach na godz.	Różnica w procentach		
			w obrotach	w rozchodzie	ogólna
Benzyna	1240	9,35	—	—	—
C 2	2270	9,45	—2,5	0,9	—1,6
D 2	13,5	8,78	—8,0	—6,1	—14,1

Wyniki nie zupełnie ściśle z tej przyczyny że przy pędzeniu benzyną silnik nie był jeszcze dotarty, gdyż, jako nowy, nie był jeszcze wcale w ruchu. Docierając się dawał coraz lepsze wyniki; stąd dla mieszanki C-2 wynik o 1,6% był lepszy niż dla benzyny, a różnica na korzyść mieszanki D-2 dochodzi nawet do 14%. Jeżeli porównać jeszcze rezultat ten z następnym to zauważymy, że wynik przy pędzeniu mieszanką jest korzystniejszy o 5%.

Jedynie mieszanki naftowe dały gorsze rezultaty.



TABELA 4.

Próby na silniku Renault I o mocy 31 KM, karburator Zenith. Moc wytworzona w prądnicę prądu stałego obracanej silnikiem bezpośrednio sprzężonym gubiona w oporniku elektrolitycznym.

Obciążenie ramienia o długości 1 m = 14 kg.

Symbol mieszanki	Liczba obrotów na min. (prze-kładnia 1:6)	Rozchód na 1 go-dzinę w litrach	Różnice w proc. przy użyciu mieszanki zamiast benzyny		
			w obro-tach	w roz-chodzie	ogólne
Benzyna (dysza 1,10)	945	13,3	—	—	—
A—2	911	14,35	4,0	8,0	12,0
A—2 (3% naftaliny)	909	14,30	4,2	7,8	12,0
B—2	905	14,14	4,4	6,4	10,8
C—2	909	14,45	4,0	8,6	12,6
D—2	908	14,4	4,1	8,2	12,3
F—2	906	14,3	4,4	7,3	11,7
F—2	905	14,30	4,4	7,8	12,2
G—2	910	14,30	3,9	7,6	11,5
B—2	909	14,45	4,3	8,5	12,8
50% alk. i 50% C <sub>6</sub> H <sub>6</sub> .	920	13,70	2,8	2,8	5,6
60% alk. i 40% ben-zolu.	902	13,75	5,2	3,6	8,8
Monopolina (dysza 1,20)	912	15,85	4,0	19,2	23,2

Silnik „Renault“ II.  
Próby w różnych obciążeniach.

Pełne obciążenie P = 14 kg.

Benzyna (dysza 1,10)	1018	13,8	—	—	—
D—2	1015	17,4	0,3	25,9	26,2
Lakbenzynowa	1016	17,13	0,2	24,2	24,4
Naf—1	1012	17,68	0,6	27,8	28,4
Naf—2	1016	17,4	0,2	25,7	25,9
Naf—3	1015	17,1	0,3	24,2	24,5

Obciążenie 0,75 P = 10,5 kg.

Benzyna	1035	11,8	—	—	—
D—2	1025	15,0	1,0	27,2	28,2
L. benz. II	1030	14,55	0,5	24,0	24,5
Naf—1	1028	15,4	0,7	30,5	31,2
Naf—2	1030	15,15	0,5	28,3	28,8
Naf—3	1017	14,20	1,8	20,5	22,3

Obciążenie 0,5 P = 7 kg.

Benzyna	1035	9,64	—	—	—
D—2	1032	11,8	0,3	22,6	22,9
L. benz. II	1030	11,4	0,5	18,3	18,8
Naf—1	1035	11,95	—	24,1	24,1
Naf—2	1034	11,22	—	16,5	16,5
Naf—3	1014	11,2	2,0	17,0	19,0

Obciążenie 0,25 P = 3,5 kg.

Benzyna	1035	7,47	—	—	—
D—2	1040	9,66	-0,5	29,6	29,1
L. benz. II	1032	9,33	0,3	24,6	24,9
Naf—1	—	—	—	—	—
Naf—2	1035	9,10	—	21,4	21,4
Naf—3	1023	8,95	1,2	19,9	21,1

Silnik „Dodge“.  
Moc silnika 22-30 KM.

Pełne obciążenie P = 14 kg.

Benzyna	1526	17,2	—	—	—
D—2	1538	16,2	-6,15	-1,0	-7,15
A—2	1534	15,48	-10,35	-0,5	-10,85
Naf—2	1528	15,55	-10,0	—	-10,0

Obciążenie 0,75 P = 10,5 kg.

Benzyna	1530	12,7	—	—	—
D—2	1545	12,2	-4,15	-1,0	-5,15

Symbol mieszanki	Liczba obrotów na min. (prze-kładnia 1:1)	Rozchód na go-dzinę w litr.	Różnice przy użyciu mieszanki zamiast benzyny w proc.		
			w obro-tach	w roz-chodzie paliwa	ogólne

Obciążenie 0,5 P = 7,0 kg.

Benzyna	1540	9,72	—	—	—
D—2	1567	9,77	-1,8	0,52	-1,28

Obciążenie 0,25 P = 3,5 kg.

Benzyna	1570	8,55	—	—	—
D—2	1555	7,74	-9,0	1,0	-8,0

Silnik „Ford“.

Moc 12-22 KM. Karburator „Ford“.

Pełne obciążenie P = 6 kg.

Benzyna	1275	8,85	—	—	—
D—2	1340	9,43	-1,5	6,6	5,1
Naf—3	1273	9,5	—	7,35	7,35
Naf—3	1315	9,64	-1,4	8,90	7,5

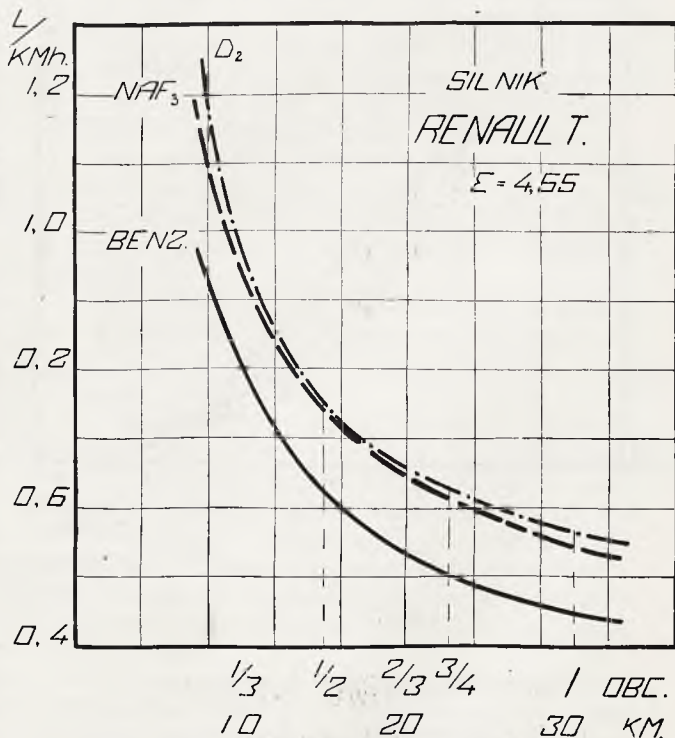
Obciążenie 0,666 P = 4 kg.

Benzyna	1343	9,0	—	—	—
Naf—3	1340	7,89	—	-121	-12,1

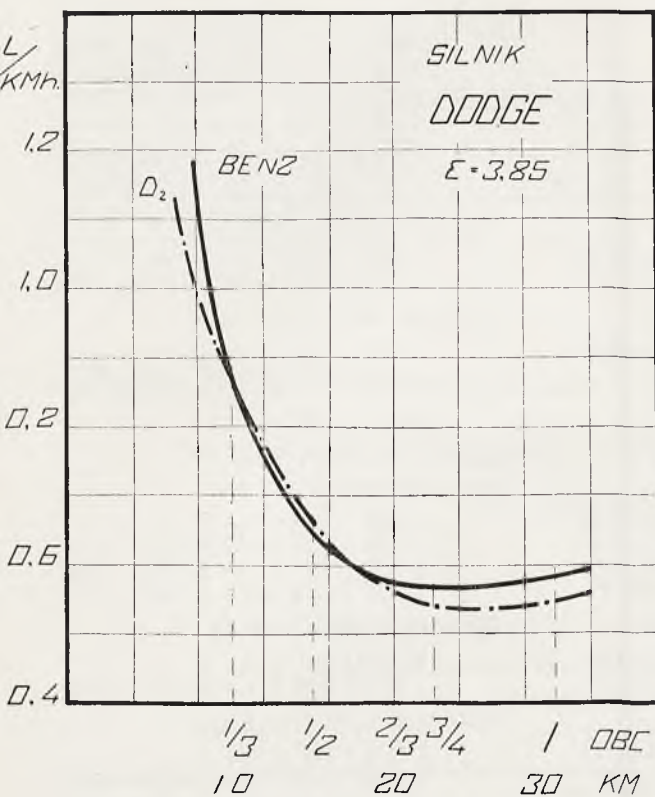
Obciążenie 0,333 P = 2 kg.

Benzyna	1412	6,2	—	—	—
Naf—3	1395	5,87	1,2	-5,35	-4,15

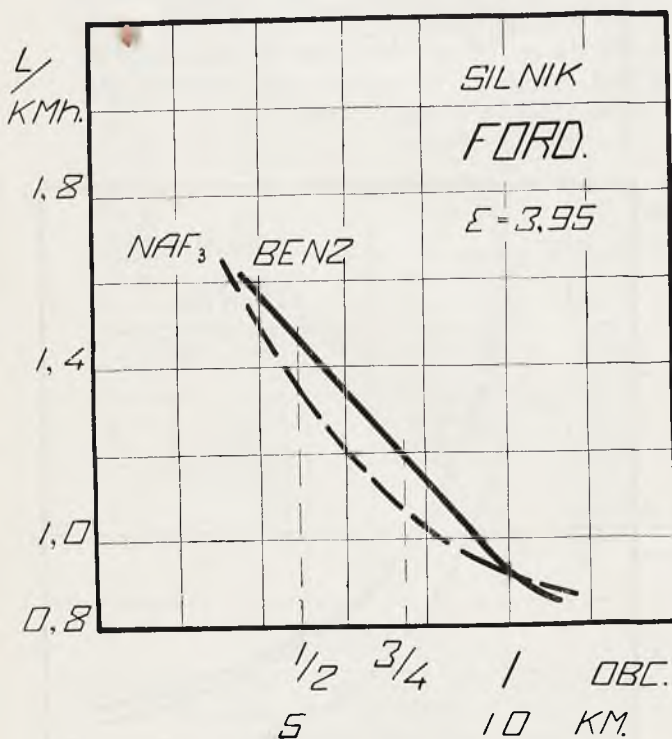
Na rysunkach 5, 6 i 7 przedstawione są krzywe rozchodu mieszanki oraz benzyny dla silników Renault (czołgowy), Dodge i Ford w stosunku do obciążenia. Wykresy te stwierdzają dodatnie rezultaty, otrzymane przy pędzeniu mieszanką silników Dodge i Ford.



Rys. 5.



Rys. 6.



Rys. 7.

## PRÓBY SZOSOWE I RAIDOWE.

Można je podzielić na 2 grupy:

1. krótkodystansowe, dla których średnia długość drogi wynosiła od 10 do 22 km.

2. długodystansowe, dla których długość drogi wahała się od 100 do 1000 km.

Próby długodystansowe dały możliwość wypróbowania mieszanki pod względem mocy, elastyczności biegu t. j. konieczności zmiany przekładni przy zmiennych szybkościach i hamowaniu w miastach, przechodzeniu z większych obrotów na mniejsze i odwrotnie, łatwości rozruchu, pokonywania wzniesień, grzania oraz zakapciana silnika i ogólnego bezpieczeństwa jazdy na długich dystansach. Nie dały one zato bezwzględnie porównania ilościowego rozchodu mieszanki a benzyny, gdyż droga odwrotna, podczas której pędzono silnik benzyną, posiadała zwykle inne warunki zarówno co do poziomu, (np. raid z Warszawy do Zakopanego i z powrotem) jak i warunków atmosferycznych.

W celu dokładnych wyników porównawczych co do ilościowego rozchodu, robione były próby na krótkich dystansach z niewielką ilością mieszanki i benzyny.

Paliwo wlewano albo do zasysacza próżniowego t. zw. mami (Chrysler, Laurin-Klement, Dodge) albo do zbiornika umieszczonego nad karburatorem (Citroen, Unic) w ilości wymierzonej (1,0 lub 1,2 litra) i uruchamiano silnik, puszczając od razu samochód w ruch. Po wypaleniu wszystkiej benzyny napełniano zbiornik tą samą ilością paliwa i wracano tą samą drogą. Ilość kilometrów przejechanych w obie strony to była średnia droga przejechana na 2,0—2,4 l benzyny. Następnie robiono z tego samego miejsca analogiczną próbę na mieszance. Ponieważ drogi przejechane były zupełnie identyczne, (jednakowy spadek i stan szosy) zaś warunki atmosferyczne w tak krótkim czasie nie zmieniały się zupełnie, więc stosunek odwrotności przejechanych kilometrów, da nam stosunek rozchodu benzyny do mieszanki.

Próby takie wykazały, że ilościowy rozchód mieszanki jest albo równy albo mniejszy niż przy pędzeniu benzyną; w rzadkich wypadkach większy.

Samochody, które podlegały krótkodystansowym próbom drogowym były zaopatrywane w silniki o wyższym stopniu sprężania, a zatem jak należało przypuszczać—i wyniki otrzymane są bardzo korzystne.

Niżej podajemy wyniki raidów:

## WYNIKI Z RAIDÓW

a) krótkodystansowych:

Marka samochodu	Rozchód benzyny w litrach na 100 km.	Rozchód mieszanki w litrach na 100 km.
Chrysler . . . . .	21,1	20,2
Laurin i Klement . . . . .	15,9	15,9
Dodge . . . . .	21,9	20,4
Citroen . . . . .	17,32	17,15
Unic . . . . .	10,6	10,6



## b) długodystansowych:

Marka samochodu	Kierunek drogi	Ilość km. przejechanych	Rozchód benzyny w lit. na 100 km.	Koz. mieszanki w lit. na 100 km.
C. W. S.	Warszawa — Kartuzy — Puck — Gdynia — Wejherowo — Sierogard — Grudziądz — Chełmno — Rypin — Sierpc . . .	1070	—	23,5
Ford	Warszawa — Kielce — Zakopane — Morskie Oko — Nowy Targ — Lipnica — Chabówka — Kraków — Jedlińsk . .	840	—	20,0
CWS	Warszawa — Kielce — Pińczów — Jędrzejów — Kraków — Zakopane — Morskie Oko — Jędrzejów — Kielce . . . .	730	—	21,8
CWS	Warszawa — Noworadomsk — Warszawa . .	400	—	23
Minerwa	Warszawa — Wyszaków — Ostrów Mazowiecki .	105	—	18
„	Ostrów Mazowiecki — Warszawa . . . . .	105	19	—
CWS	Warszawa — Ciechanów — Warszawa . . . . .	200	—	21,5
Ford	Warszawa — Ciechanów i z powrotem . . . . .	—	—	17,5
CWS	Warszawa — Kielce . .	180	—	22
„	Kielce — Warszawa . .	180	24	—
Ford	Warszawa — Łochów i z powrotem . . . . .	—	—	10
Motocykl „Norton“	Warszawa — Radom . .	104	3,0	—
	Radom — Warszawa . .	104	—	3,5

## ZESTAWIENIE WYNIKÓW.

Z przytoczonych prób i doświadczeń możemy wprowadzić następujące wnioski:

1. Polska pod względem produkowania mieszanek napędowych o podłożu spirytusowym znajduje się w bardzo pomyślnych warunkach posiadając dostateczną ilość surowców do tych celów.

2. Wyprodukowana mieszanka jest produktem zdolnym do zupełnego zastąpienia benzyny w silnikach samochodowych, a nawet może i lotniczych.

3. Z mieszanki nie daje się wydzielić spirytusu do celów konsumpcyjnych nawet zapomocą dokładnej destylacji frakcjonowanej.

4. Zmiany w silniku w celu przystosowania go do pędzenia mieszanką są minimalne i dadzą się uskutecznić niewielkim kosztem i zachodem (zwiększenie otworu w dyszy paliwowej karburatora, oraz wcześniejszy zapłon).

5. Rozruch jest zupełnie łatwy, nie trudniejszy niż z benzyną przy temperaturze powyżej zera (próby przy niższych temperaturach nie były dokonywane, stanowiąc mają dalszy ciąg prac).

6. Zarzucanie świec jest znacznie rzadsze niż przy pędzeniu benzyną.

7. Smarowanie powinno być nieco obfitsze (o 5 — 10%) niż przy benzynie ze względu na to, że mieszanka jest mniej tłusta.

8. Korzystne jest podgrzewanie mieszanek lub powietrza w celu zapobiegania skraplaniu się mieszanki w przewodzie zasysającym tak, aby przewód łączący karburator z zaworem wlotowym był utrzymywany przy temperaturze 25—35°C.

9. Silnik powinien pracować przy wyższej temperaturze wody chłodzącej (70°C.); wykazały to szczególnie próby rajdowe, podczas których w wielu wypadkach należało chłodnice osłaniać, aby uniknąć złego tworzenia się mieszanki.

10. Brak przedwczesnych zapłonów i stuków oraz detonacji nawet przy największych obciążeniach.

11. Bieg silnika jest elastyczniejszy, wzniesienie się samochodu pod górę lub zmiany szybkości odbywa się łatwiej na mieszance niż na benzynie, również przy pracy mieszanką samochód może rozwijać większą szybkość maksymalną, (dlatego też do napędu samochodów wyścigowych dodaje się obecnie spirytusu do benzyny). Szczególnie korzystnie pracuje silnik na mieszance przy średnich obrotach.

12. Spalanie mieszanki jest zupełne i pozbawione nieprzyjemnych zapachów i dymu względnie kopcia, wydech jest bezbarwny, niewidoczny, zupełnie czysty i bezwonny.

13. Temperatura gazów wydechowych jest niższa niż przy benzynie, a zatem i zawór wydechowy ulega mniejszemu zniszczeniu, pracując w środowisku chłodniejszym.

14. Korozja części silnika niedostrzegalna. Na tłoku skonstatowano niewielki osad; częściowo przypisać to należy nadmiernemu smarowaniu. Wpływ mieszanki na części składowe silnika, jak tłok, zawory i t. p. może się dopiero okazać po dłuższym okresie pracy z mieszanką, przypuszczalnie jednak nie będzie on szkodliwy.

15. Składniki mieszanki zasadniczo mają własność rozpuszczania niektórych rodzajów lakierów, dlatego też przy nalewaniu jej należy unikać zetknięcia z lakierowanymi częściami nadwozia.

16. Ilościowy rozchód mieszanki w stosunku do benzyny jest identyczny lub mniejszy nawet na samochodach o niższym stopniu sprężania, jak Ford i Dodge.

17. Ponieważ cena jednostki objętości wszystkich składników w chwili obecnej jest niższą od benzyny (prócz benzolu), więc mamy możność wyprodukowania mieszanki zawsze dostatecznie taniej, tembardziej, że różnorodność jakościowa i ilościowa poszczególnych składników pozwala przygotować mieszankę z produktów o najniższej w danym czasie i miejscu cenie rynkowej.

18. Ponieważ w Polsce mamy około 6000 samochodów Forda t. j. około 1/3 ogólnej ilości zarejestrowanych samochodów w Państwie, a Ford jak wykazały nasze doświadczenia, pracuje bardzo dobrze na mieszance, należałoby w czasie jaknaj-

prędzszym dostarczyć mieszankę na rynek dla pędzenia nią przynajmniej tej marki samochodów tembardziej, że jak wyżej powiedziano, Ford nie wymaga absolutnie żadnej zmiany przy przejściu na mieszankę.

19. Koniecznym warunkiem wprowadzenia mieszanki na rynek jest jej niska cena tak, aby eksploatacja samochodu przy pędzeniu mieszanką wypadła na początek najmniej o 10% taniej niż przy jeździe na benzynie. Dla celów napędowych Państwowy Monopol Spirytusowy powinien obniżyć możliwie cenę spirytusu, tak jak to zrobiły Niemcy, które do tego celu obniżyły cenę spirytusu z 65 na 15 fen. za litr. W przyszłości należy liczyć się też z tem, aby cena spirytusu do celów napędowych rok rocznie nie ulegała znacznieszym wahaniom np. w zależności od urodzaju ziemniaków w kraju lub warunków eksportowych.

20. Mieszanki spirytusowe powinny znaleźć

zastosowanie przede wszystkim przy eksploatacji samochodów państwowych, w pierwszym zaś rzędzie samochodów wojskowych, których jest stosunkowo najwięcej, następnie samochodów należących do poszczególnych ministerstw, urzędów wojewódzkich ziemskich, okręgowych dyrekcji robot publicznych, poczty, autobusów w komunikacji międzymiastowej i innych, jak również instytucji komunalnych np. straży ogniowych, autobusów miejskich i t. d.

Pierwsza serja prób z mieszankami spirytusowymi została zakończona z bardzo dobrym wynikiem, pozostaje jednak zbadanie mieszanki w pracy zimą przy niższych temperaturach atmosfery w celu przekonania się o przystosowaniu mieszanki do tych warunków pracy, oraz wypróbowania jej na silnikach lotniczych i w rolnictwie na pługach silnikowych, ciągówkach traktorach, jak również i innych pojazdach mechanicznych.

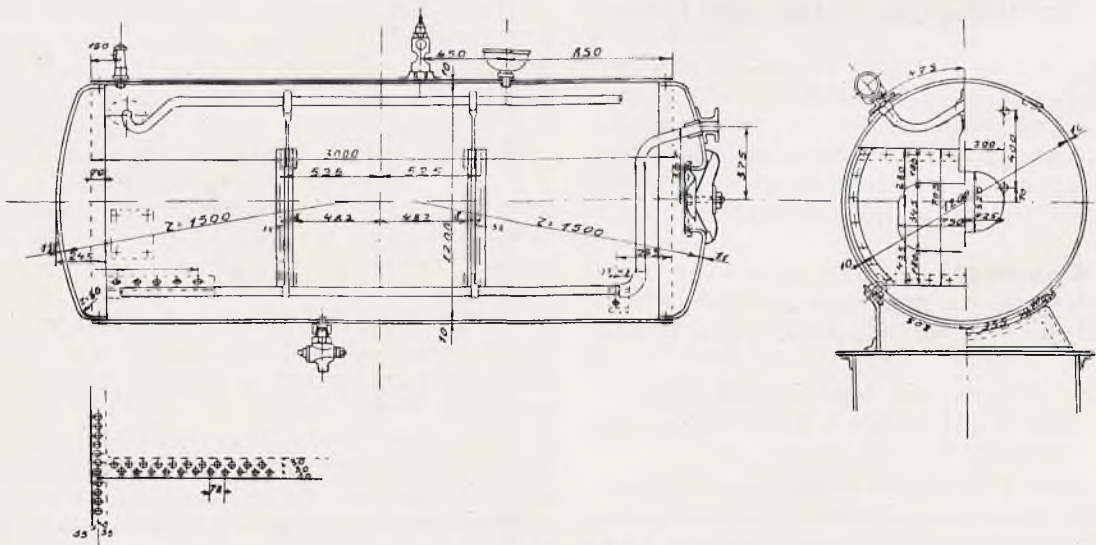
Będzie to zadaniem dalszych prób i badań.

Inż. K. BIZAŃSKI.

## WYBUCH KOTŁA LOKOMOTYWY BEZPALENISKOWEJ.

**D**nia 1 czerwca b. r. o godzinie 6.10 rano wybuchł kocioł lokomotywy bezpaleniskowej na kopalni węgla „J. Piłsudski“, będącej własnością Jaworznickich Komunalnych Kopalni węgla S. A. w Jaworznie, powodując śmierć maszynisty Władysława Roli i duże szkody materialne.

kłemi dnami starego typu, z których jedno posiadało centralny wykrój na właz. Kocioł był zbudowany w r. 1918 przez firmę Orenstein i Koppel, S. A. w Berlinie—Drewitz, na ciśnienie robocze 8 atm. i posiadał następujące wymiary: płaszcz cylindryczny, składający się z 1 dzwona, 1200 mm średn. i 3000 mm długości z blachy 12 mm (w ry-



Rys. 1. Rysunek kotła.

Kocioł nie był zgłoszony do dozoru, a tem samem pozbawiony fachowych, perjodycznych oględzin, które, jak z poniższego opisu wynika, musiałyby dość wcześnie wykryć grożące niebezpieczeństwo i zapobiedz wypadkowi.

Kocioł oznaczony numerem fabrycznym 7617 składał się z poziomego walczaka z wypu-

sunku fabrycznym podano 10 mm); dwa dna wypukłe (z tych jedno włazowe) o promieniu wypukłości 1500 mm i promieniu wyoblenia 30 mm, z blachy 11 mm. Szew podłużny, nitowany dwurzędnie w narzutkę, miał podziałkę 78 mm, a średnicę otworu nitowego 23 mm; dwa szwy poprzeczne obu den były jednorzędowe o podziałce



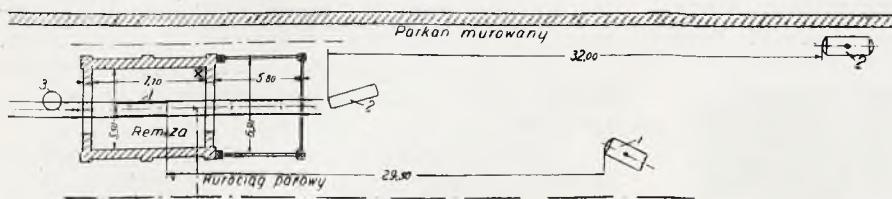
50 mm i otworach nitowych 23 mm. Stempel „Borsigwerk” na dnach kotłowych świadczy o pochodzeniu materiału, względnie o wytwórcy den.

Przebieg eksplozji był następujący. Krytycznego dnia maszynista Władysław Rola przyszedł do pracy o godzinie 6-tej rano i zaraz przy-

uderzając po drodze w podobną lokomotywę, która stała w drewnianej przybudówce remizy i znajdowała się wówczas w remoncie. Kocioł uderzonej lokomotywy (Nr. 2), podobnie jak poprzedni, oderwał się od podwozia i został odrzucony na odległość 32 m od miejsca, w którym pozosta-

ło jego podwozie, również z przybudówki wyrzucone. Na fotografii (rys. 3) widać na przednim planie odrzucony kocioł lokomotywy, znajdującej się w przybudówce, z tyłu zaś kocioł, który eksplodował a poza nim gruzy zburzonej remizy.

Remiza lokomotywy murowana, o ścianach na dwie cegły, została siłą eksplozji doszczętnie, bo aż do fundamentu, zburzona; ściany drewnianej przybudówki rozpadły się i pomieszały z gruzem murów. Maszynista Rola, który w chwili wybuchu

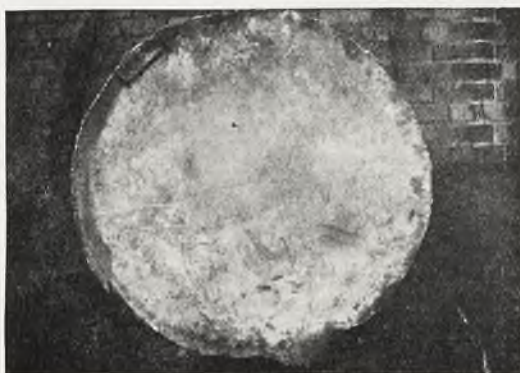


Rys. 2. Plan sytuacyjny

stąpił do ładowania parą kotła lokomotywy z parociągu łączącego remizę z kotłownią. Prócz wspomnianego maszynisty nie było nikogo z obsługi. W kilka minut po rozpoczęciu pracy, o godzinie



Rys. 3. Miejsce wypadku.

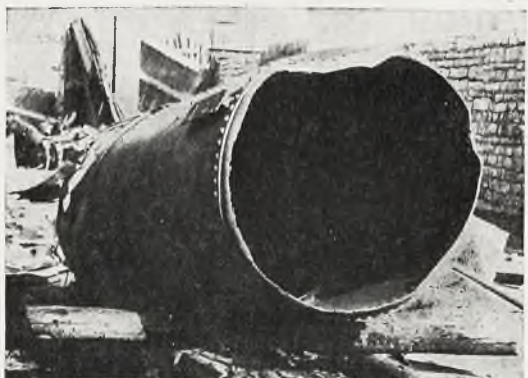


Rys. 5. Fotografia przełomu oderwanego dna.

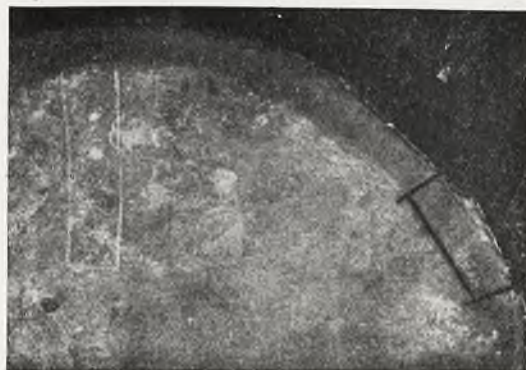
6.10, nastąpił wybuch, spowodowany wyrwaniem przedniego dna kotła (patrząc od stanowiska maszynisty) na całym obwodzie wyoblenia.

Jak wskazuje plan sytuacyjny (rys. 2), wyr-

stał w rogu remizy przy zaworze parociągu, został prawdopodobnie siłą eksplozji rzucony na ziemię i przygnieciony gruzem walącego się budynku. Według orzeczenia lekarskiego, zgniece-



Rys. 4. Fotografia przełomu oderwanego dna.



Rys. 6. Fotografia przełomu oderwanego dna.

wane dno (Nr. 3) zostało odrzucone w kierunku wschodnim, a kocioł (Nr. 1), pod wpływem siły reakcji ściał nity czterech łap, łączących go z podwoziem i odleciał w kierunku zachodnim na 29,5 m,

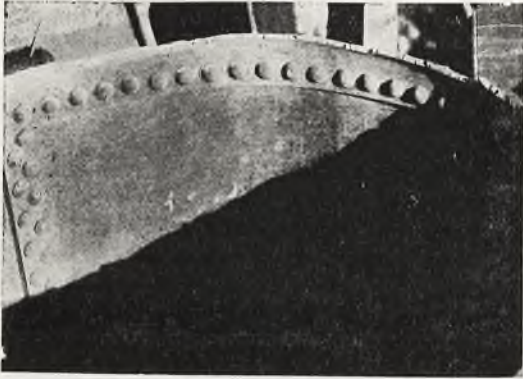
nie czaszki spowodowało natychmiastową jego śmierć.

Zaraz następnego dnia po wybuchu władze górniczo-policyjne, przy współdziałaniu inżynierów



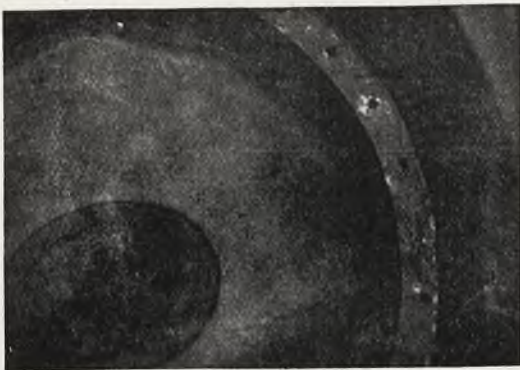
Stowarzyszenia Dozoru Kotłów w Warszawie, przeprowadziły dochodzenie, które ustaliło następujący stan faktyczny:

1) Przełom oderwanego dna wskazuje, że materiał był naderwany w zaobleniu dna na długości 2450 mm obwodu, a pęknięcie sięgało do 10 mm głębokości, zatem na tej długości utrzymywał dno tylko pasek blachy grubości 1 mm. Stare pęknięcie, ciemnej barwy i wąski pasek



Rys. 7. Fotografia przełomu oderwanego dna.

zdrowego materiału, wyraźnie odcinający się jasnym metalicznym połyskiem, wskazują fotografje rys. 4 do 7. Wzdłuż linii pęknięcia, po obu bokach, widać równoległe, nie łączące się ze sobą, częściowo rozwarte linie naderwania, o rozmaitej długości i głębokości (rys. 5 i 6). Nasuwającą się do pewnego stopnia wątpliwość, czy te drobne naderwania nie są wyłącznie spowodowane zgięciem materiału przy odrywaniu się dna, usunęła



Rys. 8. Dno z otworem na wąż.

obserwacja przeciwległego dna (rys. 8), które przy eksplozji mało ucierpiało a wykazuje jednak w zaobleniu zupełnie podobne, robaczkowo rozwijające się naderwania.

2) Manometr lokomotywy, znaleziony w gruzach, wskazywał 6 atm, co jednak nie może być dowodem ciśnienia panującego w kotle w chwili wybuchu.

3) Kotły stałe, z których pobierano parę do nabijania lokomotywy, wykazywały w chwili wybuchu prężność 12 atm, co stwierdzono z wy-

kresu samopiszącego manometru, umieszczonego przy kotłach stałych. Wykres dołączono do protokołu dochodzenia górniczo - policyjnego.

4) Rurociąg, służący do zasilania parą lokomotyw bezpaleniskowych, a łączący remizę z kotłownią kotłów stałych ma 68 mm średnicy wewnętrznej i około 700 metrów długości, przycem jest na całej długości nieizolowany i w wielu miejscach, na połączeniach krzyżowych, nieszczelny.

5) Pojedynczy, sprężynowy zawór bezpieczeństwa, umieszczony na rozerwanym kotle, został przez eksplozję zniszczony.

Z oderwanego dna wycięto dwie próbki, w kierunku równoległym i prostym do wyb-



Rys. 9.

lenia, które, zbadane w Zakładzie Metalografii Akademii Górniczej w Krakowie, dały następujące wyniki:

Badanie składu chemicznego nie wykazało żadnych odchyżeń od składu normalnego, gdyż blacha zawierała: węgla 0.10%, krzemu 0.022%, manganu 0.54%, fosforu 0.051%, siarki 0.045%, jednak badania makroskopowe, pod wpływem odczynnika Baumann'a, wykryły znaczne skupienia siarki w pewnych miejscach przekroju, jak to wskazuje makrofotografja rys. 9.

Badania wytrzymałościowe dały poniższe wyniki:

	Próbka z widocznym pęknięciem (prostą do wybolenia)		Próbka równoległa do wybolenia	
	w s t a n i e			
	surowym	wyżarzonym	surowym	wyżarzonym
Granica plastyczności (Q) $kg/mm^2$	22,9	21,4	25,3	21,4
Wytrzymałość (R) „	37,3	36,3	39,3	36,9
Wydłużenie (A) %	25,6	28,0	30,4	35,2
Przewężenie (C) „	62,3	59,7	61,1	59,5
Twardość (H) $kg/mm^2$	111,0	106,5	111,0	106,5
Q: R	61,4	58,9	64,3	58,0
H: Q	4,85	5,00	4,39	5,00
Próby na uderzenie (U)				
przy — 15°C $kgm/cm^2$	4,2	1,1	4,9	1,5
„ 0 „	6,8	1,8	7,2	2,3
„ + 18 „	7,5	6,5	7,9	7,4
„ + 100 „	9,8	10,1	10,7	11,3
„ + 150 „	10,5	10,6	10,8	12,0



Rys. 10.

Badania stopnia obróbki na zimno, przy pomocy odczynnika Fry'ego, wykazały nieznacz-



nią ilość linii sił, skierowanych prostopadle do powierzchni blachy (makrofotografia, rys. 10.)

Badania mikroskopowe stwierdziły znaczną



Rys. 11

niejednorodność budowy. Wnętrze blachy posiada budowę warstwową (mikrofotografia, rys. 11), podczas gdy warstwy zewnętrzne są nieco od-



Rys. 12.

węglone i posiadają budowę siatkową (mikrofotografia, rys. 12.) Budowę wewnętrznego, szerokiego pasma likwatów, występującego tak wy-

bitnie na mikrofotografii, rys. 11, przedstawiono w 300-krotnym powiększeniu na mikrofotografii, rys. 13. Pasma likwatów posiada większą zawartość fosforu i stąd pochodzi ciemnawe zabarwienie a prócz tego jest wypełnione tlenkami żelaza (drobne kropelki) i siarczkami manganu (większe szare wtrącenia). Budowę sąsiedniego pasma w 450-krotnym powiększeniu przedstawia mikrofotografia, rys. 14, z której widać, że pasmo



Rys. 13.

to jest wypełnione drobnymi kropkami tlenków żelaza.

Nadpęknięcia większe (mikrofotografia, rys. 15) i mniejsze (mikrofotografia, rys. 16) pochodzą z miejsc, leżących w pobliżu pęknięcia. Budowę próbki poprzecznej przedstawia mikrofotografia (rys. 17) w 60-krotnym powiększeniu. W pobliżu pęknięcia materiał jest silnie odkształcony, o czym świadczy znaczna liczba linii



Rys. 14.

Neumana (linij sił), przedstawionych na mikrofotografii (rys. 18) w 450-krotnym powiększeniu.

Na podstawie powyższych badań wydał Zakład Metalografii Akademii Górniczej w Krakowie następujące orzeczenie:

Materiał blachy posiada normalny skład chemiczny i nie jest zbyt zgnieciony na zimno.

Materiał ten posiada wewnątrz pasmo likwatów i to spowodowało, że zakres kruchości na



zimno jest przesunięty w stronę wyższych temperatur a ponadto ogólny stopień kruchości jest



Rys. 15.

niedużo wyższy od normalnego. Nadpęknięcia powstały widocznie na zimno z powodu jakiegoś



Rys. 16.

go nagłego uderzenia, lub innego gwałtownego nadwyrężenia. Obecność nadpęknięć spowodowała

ogólne obniżenie wytrzymałości w tych punktach. Tak było w chwili przed wybuchem, który nastąpił może wskutek nieznacznego uderzenia, lecz w miejscach o osłabionej przez te nadpęknięcia wytrzymałości.

W okolicach pęknięcia materiał jest gorszy niż w miejscach nieco oddalonych. Próba wzięta bezpośrednio z miejsca pęknięcia wykazała gorsze właściwości mechaniczne, niż próba bardziej oddalona od tego pęknięcia.



Rys. 17.

Reasumując wyniki orzeczenia należy podkreślić, że materiał użyty na dna kotłów zawierał pasmo likwatów, co miało wpływ na kruchość, dalej że ta kruchość była większa od normalnej a w końcu, że nadpęknięcia powstały widocznie na zimno, z powodu gwałtownego nadwyrężenia.

Ponieważ kocioł był zbudowany w roku 1918 a uruchomiony w roku 1919, kiedy na terenie byłego zaboru austriackiego jeszcze obowią-



Rys. 18

zywała ustawa austriacka, należało go wówczas, w myśl ustawy, traktować jako aparat pracujący pod ciśnieniem i ograniczyć wstępne badanie do przeprowadzenia próby wodnej i wystawienia t. zw. certyfikatu. Tego rodzaju badanie, nie połączone z obliczeniem wytrzymałości, nie byłoby dało żadnego rezultatu, gdyż nie należy przypuszczać, aby wady konstrukcyjne ujawniły się przy próbie, przeprowadzonej na ciśnieniu



13 atm. ( $1.5p + 1$ ). Dalszych badań aparatów pracujących pod ciśnieniem ustawa austriacka nie przewidywała.

Inaczej wygląda sprawa rozpatrywana z punktu przepisów obowiązujących wytwórnę niemiecką, która kocioł dostarczyła. Stosownie do wskazań norm hamburskich, należało obliczyć grubość płaszczka kotła według wzoru

$$s = \frac{D \cdot p \cdot x}{200 \cdot K \cdot z} + 1,$$

zaś grubość den

$$s_1 = \frac{p \cdot R}{200 \cdot k}$$

gdzie oznacza:

$D = 1200$  mm — wewnętrzną średnicę płaszczka

$R = 1500$  mm — wewnętrzny promień kulistej części dna

$s$  = grubość płaszczka

$s_1$  = grubość den

$p = 8$  atm — ciśnienie robocze

$x = 4.5$  — współczynnik bezpieczeństwa

$K = 36$  kg/mm<sup>2</sup> — obliczeniowa wytrzymałość blachy na rozerwanie

$k$  = maksymalnie 6.5 kg/mm<sup>2</sup> — dopuszczalne natężenie, zależne od wielkości promienia wyoblenia obłuczyny dna

$$z = \frac{t - d}{t} = 0.705$$

współczynnik osłabienia szwa nitowego przy działce nitowej  $t = 78$  mm; i średnicy otworu nitowego  $d = 23$  mm

stąd obliczone  $s = 11.64$ ,

okrągło 12 mm, zatem zgodnie z wykonaniem, gdyż w rzeczywistości blacha płaszczka miała 12 mm, chociaż na rysunku i w opisach fabrycznych zaznaczono 10 mm.

$$\text{Grubość dna } s_1 = \frac{8 \cdot 1500}{200 \cdot 4.3} = 13.9.$$

okrągło 14 mm gdzie  $k$  przyjęto równe 4,3 gdyż normy hamburskie dopuszczają natężenia 6,5 kg/mm<sup>2</sup> tylko w tych wypadkach, gdy promień wyoblenia jest tak wielki, jak tego wymaga łagodne przejście z części cylindrycznej dna do środkowej jego wypukliny. Chociaż wielkość dopuszczalnego natężenia w wyobleniu zmienia się z wielkością promienia wyoblenia według krzywej, przyjęto do obliczenia, według dawniej stosowanej metody, zmianę prostoliniową i uważając za normalny promień wyoblenia (dla den starego typu)  $r = 45$  mm, obliczono  $k$  z proporcji

$$6.5 : 45 = k : 30$$

Nawet przy tem, bardzo korzystnym dla wytwórni, obliczeniu, pokazuje się, że grubość dna była za mała.

Przeliczenie dna według nowych przepisów polskich, lub niemieckich, nie może mieć dla danego wypadku żadnego zastosowania, jednak

w zestawieniu wyników uwidocznia, jaką uwagę powinniśmy zwrócić na kotły pracujące z dnami starego typu.

Obliczając grubość dna według rozporządzenia M. P. i H. z dnia 14 sierpnia 1926 r., otrzymamy dla  $D = 1200$  i  $r = 30$   $r = \frac{D}{40}$  zatem  $k = 2.4$  przyjmując prostolinijny związek zależności od  $k = 3.2$  przy  $r = \frac{D}{30}$ , które jako minimum przewiduje rozporządzenie ministerjalne.

Podstawiając wartość  $k$  we wzór  $s_1 = \frac{p \cdot R}{200k} + c$

otrzymamy dla dna pełnego bez włazu  $s_1 = 26$  mm a dla dna włazowego  $s_1 = 29$  mm, przyjmując zgodnie z wyjaśnieniem do rozporządzenia stałą  $c$  w pierwszym wypadku 1 mm, w drugim 4 mm.

Według Godesbergskiej formuły, przyjętej na posiedzeniu Niemieckiej Komisji Kotlewej w marcu 1927 r. a ogłoszonej w dodatku do niemieckich przepisów dla kotłów lądowych w październiku 1926.

$$s_1 = D \cdot y \frac{p}{200 \frac{K}{x}} + c$$

gdzie  $y$  oznacza pewną wielkość, zależną od kształtu dna w odniesieniu do formy półkulistej, w danym wypadku 4,

$x$  pewność mocy — dla den pełnych 3.5, dla den z włazem umieszczonym w środku 4.25,

$c$  stałą — dla den pełnych 2 mm, dla den włazowych 3 mm,

Wstawiając do wzoru wartości otrzymamy:

$s_1 = 21$  mm, dla dna pełnego i  $s_1 = 26$  mm dla dna włazowego.

Z wyniku obliczenia należy stwierdzić, że dna kotła były co najmniej o 3 mm tj o 27.3% za słabe wbrew wymaganiom ustawy, obowiązującej wytwórcę w roku wykonania kotła.

Według nowoczesnych wymagań technicznych należałoby dna wykonać średnio o 100% grubsze, chociaż i w takim wypadku trzeba by je uznać za niebezpieczne, ze względu na niedopuszczalnie mały promień wyoblenia.

Dla usunięcia wszelkich domysłów co do ewentualnych przyczyn wybuchu trzeba jeszcze stwierdzić, że prężność pary na końcu rurociągu zasila ją tego, a więc i w kotle lokomotywy, nie mogła, w normalnych warunkach pracy, przekroczyć 8 atm na które, kocioł był zbudowany.

Dla niez izolowanego rurociągu o średnicy 68 mm i długości 700 m przyjęto średnią temperaturę powietrza w kanale rurociągu około +30° C. Normalny czas ładowania parą lokomotywy wynosił 10 minut od ciśnienia początkowego 2 atm do ciśnienia końcowego 8 atm (w rzeczywistości osiągnęto około 7.5 atm).

Straty ciepła w rurociągu wynosiły na 1 godzinę:

$$W = k \cdot F (t_1 - t_2)$$

gdzie  $k = 11.5$  dla danego rurociągu przy różnicy temperatury  $1^\circ$  na  $1m^2$   
 $F = 167.0$  powierzchnia rurociągu w  $m^2$   
 $t_1 = 182$  średnia temperatura pary w rurociągu w stopniach C.  
 $t_2 = 30$  średnia temperatura powietrza w kanale rurociągu w  $^\circ C$ .

stąd  $W = 291916 \text{ Kal/h}$

Średnia zawartość wody w kotle wynosiła  $2500 \text{ dm}^3$ , pary  $1250 \text{ dm}^3$ .

Do osiągnięcia w kotle lokomotywy prężności  $8 \text{ atm}$  potrzeba było doprowadzić ciepła: dla  $2500 \text{ kg}$  wody o zawartości ciepła  $133,9 \text{ Kal}$  ( $2 \text{ atm.}$ ) do zawartości ciepła  $176,8 \text{ Kal}$  ( $8 \text{ atm}$ )

$2500 (176,8 - 133,9) = \text{Kal } 107250$

dla  $1,25 \text{ m}^3$  pary o ciśnieniu  $2 \text{ atm}$

$1,25 (\gamma_2 \cdot i_2'' - \gamma_1 \cdot i_1'') = \text{„ } 2455$

gdzie  $\gamma_1$ , względnie  $\gamma_2 = 1,6224$ ,

względnie  $4,5448$  — ciężar  $1 \text{ m}^3$

pary w  $\text{kg}$  przy  $2$ , względnie  $8 \text{ atm}$

$i_1''$ , względnie  $i_2'' = 652$ , względnie

$664,9$  — zawartość ciepła w  $\text{Kal}$

pary o  $2$ , względnie  $8 \text{ atm}$ .

dla strat ciepła w rurociągu j. w. lecz

w  $10$  minutach przepływu  $\frac{291906}{6} \text{ „ } 48651$

dla strat na kryzach, nieszczelności

połączeń i t. p. ze względu na zły

stan rurociągu około  $20\%$  powyż-

szej pozycji „  $11644$

R a z e m  $\text{Kal } 170000^*$

Dla przesłania tej ilości ciepła parą  $12$ -o atmosferową potrzeba, przy różnicy zawartości ciepła  $668,9 \text{ Kal}$  (w parze  $12 \text{ atm.}$  i  $133,9$

(w wodzie  $2 \text{ atm.}$ ):  $\frac{170000}{668,9 - 133,9} \approx 320 \text{ kg}$ ,

względnie  $320 \times 0,15565 \approx 50 \text{ m}^3$  pary. Przekrój

rurociągu  $68 \text{ mm}$  średn. =  $0,003631 \text{ m}^2$ , zatem

szybkość pary w rurociągu:

$$\frac{50}{0,003631 \times 10 \times 60} = 23 \text{ m/s}$$

Przy tej szybkości spadek ciśnienia w rurociągu wynosi:

$$\Delta p = \frac{15}{10^5} \gamma \frac{L}{d} w^2$$

gdzie  $\gamma = 5,5$  — ciężar pary nasyconej w  $\text{kg/m}^3$  przy średnim ciśnieniu w rurociągu,

$L = 700$  — długość rurociągu w  $\text{m}$

$d = 68$  — wewnętrzna średnica rurociągu w  $\text{mm}$

$w = 23$  — średnia szybkość pary w  $\text{m/s}$

stąd spadek ciśnienia  $\Delta p = 4,5 \text{ atm}$ , zatem na końcu rurociągu ciśnienie nie mogło przekraczać  $12 - 4,5 = 7,5 \text{ atm}$ , co się zgadza z rzeczywistością, gdyż według oświadczenia kierownictwa ruchu, wyższego ciśnienia w lokomotywie nie dało się uzyskać w normalnych warunkach ruchu.

Tak przedstawiały się warunki dziennej pracy lokomotywy. Rano, po nocnym ostudzeniu kotła, ciśnienie spadało do zera a tem samem należało doprowadzić większe ilości ciepła do lokomotywy, aby ją przysposobić do ruchu.

Wobec faktu, że eksplozja nastąpiła w  $10$  minut po rozpoczęciu ładowania parą, nie ulega wątpliwości, że ciśnienie w kotle nie mogło przekroczyć  $7,5 \text{ atm}$ , co udowodnia powyższe obliczenie a częściowo potwierdza i znaleziony manometr, którego wskazówka zatrzymała się na podziałce  $6$ . Nawet w razie zwiększenia szybkości przepływu pary, przez zupełne otwarcie zaworu, nie mogło nastąpić przekroczenie dozwolonego ciśnienia, gdyż spadek prężności wzrasta z kwadratem szybkości przepływu a okres  $10$  a nawet  $20$  minut nie wystarczyły na podniesienie ciśnienia w lokomotywie ponad dozwoloną miarę.

Z powyższego wynika, że bezpośrednim powodem wybuchu była zbyt mała grubość dna, względnie zbyt mały promień wyoblenia, rażąco odbiegający od norm, ogólnie przyjętych od szeregu lat przez huty. Zgniecenie i nadwerżenie dna przy jego prasowaniu były skutkiem małego promienia a niejednostajność budowy materiału, zawartość likwatów a stąd wyższy stopień kruchości, ułatwiły powstanie drobnych nadpęknięć, które łącząc się z sobą, doprowadziły do naderwania dna i wybuchu kotła.

Pośrednim powodem wybuchu było to, że kocioł nie był pod dozorem, który wykryłby niewątpliwie zawczasu powoli rozwijające się naderwania i zapobiegł wypadkowi przez stosowne zarządzenia.

## Z CODZIENNEJ PRAKTYKI.

### Wadliwość konstrukcji lokomobil z paleniskiem wysuwaniem.

Do niedawna najpoważniejsze wytwórnie lokomobil z wysuwaniem systemem rurowym, albo z systemem rurowym wnitowanym do walczaków, stosowały do budowy walczaków kon-

strukcję, składającą się z dzwon o dwóch średnicach, jak to podaje rys. 1.

W ostatnich czasach wytwórnie zagraniczne zaniechały budowy takich walczaków i stosują walczaki o jednej średnicy (rys. 2).

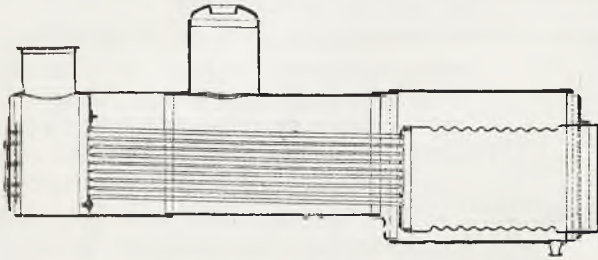
Kotły lokomobilowe tego typu posiadają zasadnicze wady konstrukcyjne. Rozkład temperatur w blachach takich kotłów jest wielce nierównomierny. Możemy się spotkać z wypadkami

\*) W rachunku nie uwzględniono przyrostu cieczy ze skroplin, co jednak nie ma wpływu na wynik obliczenia.



kiedy temperatura górnych części walczaka dochodzi do 180°C (Prężność około 12 atm.), kiedy dolne części posiadają tylko około 70°, a nawet i mniej.

Niskie temperatury w dolnych częściach walczaka będziemy mieli w wypadkach, kiedy kocioł jest pośpiesznie rozpalany, lub wogóle forsowany, szczególnie jeżeli próg skrzyni paleniskowej leży zbyt blisko ściany sitowej, co nieraz jest stosowane w zamiarze zwiększenia powierzchni rusztów. W takich wypadkach gazy gorące przechodzą przeważnie górnymi rzędami płomieniówek, podczas gdy dolne rzędy są albo zasypane popiołem albo wogóle słabo ogrzewane,



Rys. 1.

wobec wadliwego rozkładu potoku gazów spalinowych.

System rurowy (płomienica i płomieniówki) może wówczas pracować przy bardzo wysokich temperaturach, szczególnie przy złej wodzie i niedbałym czyszczeniu kotła z osadów, kiedy części stykające się bezpośrednio z gorącymi spalinami są pokryte grubą warstwą zwartego kamienia.

Dla zbadania jakie zjawiska zachodzą w takich wypadkach w kotle, rozpatrzmy konkretny przykład, przyjmując temperaturę u góry walczaka 180°C, temperaturę spodu walczaka 70° i temperaturę systemu rurowego w górnych częściach 300°.



Rys. 2.

Mamy lokomobilę z kotłem omawianego typu, zbudowaną w roku 1927; system rurowy tworzy jedną całość z walczakiem.

Długość lokomobilii w części czynnej 5800 mm.

Górna część przy temperaturze  $t_1 = 180^\circ\text{C}$  —  $15^\circ\text{C}$  (temperatura otoczenia) =  $165^\circ$ , wydłuży się na zasadzie wzoru

$$L_1 = L \cdot (1 + \alpha t),$$

gdzie  $\alpha = 0,000011$  (spółczynnik wydłużenia żelaza)

$$L_1 = 5800 (L + 0,000011 \cdot 165) = 5810 \text{ mm}$$

Spód kotła wydłuży się na podstawie tegoż wzoru przy  $t_2 = 80 - 15 = 65^\circ$  o 4 mm.

System rurowy wydłuży się przy

$$t_3 = 300 - 15 = 285^\circ \text{ o } 18 \text{ mm.}$$

Na rysunku 3 przedstawiona jest najwięcej narażona na odkształcenie część lokomobilii\*).

Siły wewnętrzne wywołane przez różnice temperatur sięgają tak zawrotnych wielkości, że nic oprócz się im nie jest w stanie. Jeżeli jakaś konstrukcja będzie dość wytrzymała, to w każdym razie w materiale pozostaną pewne naprężenia w stanie potencjalnym, w każdej chwili gotowe do wykonania przypadającej im w udziale pracy. Codzienna praktyka stwierdza to na każdym kroku. Spotykamy np. często zerwane kątowniki, na których bywają zakotwione denka i to nie tylko w kotłach o znacznych średnicach, lecz nawet i w mniejszych.

Przytoczę za przykład lokomobilę budowy fabryki „Assman i Stockder“ w Stuttgartzie, której dno frontowe w górnej, więcej elastycznej, części usztywnione jest zapomocą kątowników. Zjawisko zrywania tych kątowników jest zjawiskiem zupełnie normalnym.

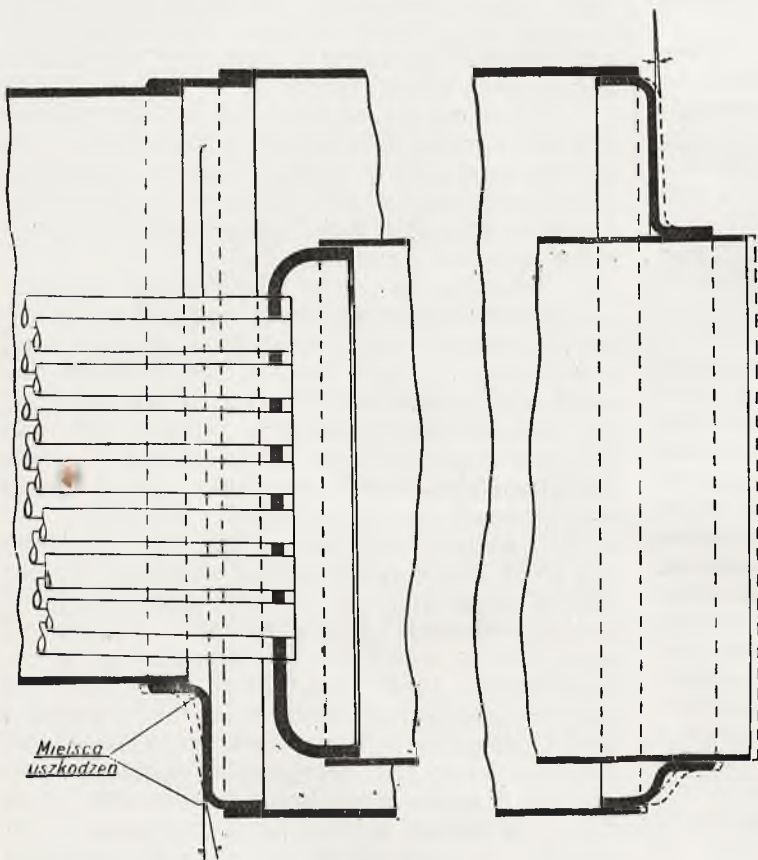
Wracając do rzeczy widzimy, że wydłużenie systemu rurowego może być o 8 mm większe od górnej części walczaka i o 12 mm od dolnej części. Z tego wynika, że frontowe dno ulega wypychaniu na zewnątrz. Góra narażona jest na mniejsze wyginanie, a prztem jest elastyczna, wobec większej odległości od walczaka do płomienicy, spód zaś, który jest ogromnie usztywniony, bo odległość płomienicy od spodu wynosi zaledwie = 100 mm, narażony jest na działanie znacznych sił wywołanych przez różnicę temperatur. O ile góra musi przyjąć na siebie odchylenie o 8 mm i może to uczynić wobec elastyczności dna (w tem miejscu niezakotwionego), o tyle spód musi odkształcać się kosztem innej części kotła byle nie sztywnego dna. W lokomobilach z walczakiem o jednakowej średnicy deformacje następują w wyobleniu płomienicy u spodu w miejscu przynitowania jej do dna, a w kotłach o walczakach z różnymi średnicami w już wymienionem miejscu i ponadto w miejscu przegubu od walczaka o mniejszej średnicy do większej.

Ponadto notujemy wypadki kiedy frontowe denko kotła zostaje na stałe wypaczone na zewnątrz.

Na rys. 3 widzimy, że kąt odchylenia przegubu, o ile w nim skoncentruje się cały wysięk, jest znaczny; zachodzące przy rozpalaniu kotła i przy stygnięciu jego zmiany w rozkładzie temperatur oczywiście wpływają na zmianę kierunku tych odkształceń i wyoblenia rozginają się, lub zginają się na zmianę.

\* Wyginania blach oczywiście rozkładają się po całym walczaku, następują także wygięcia walczaka wzdłuż jego podłużnej osi, ale wobec tego, że wszędzie walczak jest sztywniejszy niż w wyobleniach, a powtórnie w celu wyjaśnienia zachodzących zjawisk przyjmujemy, że oś podłużna walczaka nie doznaje odkształcenia i że ściana sitowa w dymnicy jest o tyle sztywna, że nie deformuje się.

Jeżeli weźmiemy pod rozwagę jedynie momenty rozpalania i gaszenia kotła raz jeden na dobę, będziemy mieli takich przegięć w przeciągu roku, o ile lokomobila pracuje codziennie w jednej zmianie, conajmniej 240—300. O ileż ta liczba wzrośnie, jeżelibyśmy chcieli uwzględnić każde zasilanie kotła zimniejszą wodą, która wpływa mniej więcej w identyczny sposób. Nic więc dziwnego, że lokomobile z walczakiem o jednej średnicy ujawniają uszkodzenia w wyobleniu płomienicy przy frontowym dnie, a lokomobile o dwuśrednicowym walczaku, przeważnie w przegubie między walczakiem czasem już po 5-tym roku



Rys. 3.

pracy. W rzadkich wypadkach można znaleźć taką lokomobilę nieuszkodzoną po 15 roku jej pracy.

Rozpatrzone, może dość pobieżnie, wady konstrukcyjne tych lokomobil mimowoli nasuwają myśl o bezpieczeństwie pracy takich kotłów.

Przed nieszczęśliwym wypadkiem wybuchu kotła zabezpieczamy się rewizjami dokonywanymi przez Dozór Kotłowy. Badania kotłów przez Stowarzyszenie Dozoru Kotłów wtedy tylko osiąga swój cel, kiedy przedmiot badań może być dokładnie zbadany we wszystkich szczegółach, a zwłaszcza w miejscach o których z góry wiemy, że narażone są na uszkodzenia.

O ile lokomobile z paleniskiem wysuwającym najzupełniej odpowiadają tym wymaganiom, bo każdy szczegół ich łatwo może być zbadany, gdyż jest zupełnie dostępny, o tyle lokomobile tego samego typu ale z systemem paleniskowym znitowanym z walczakiem zupełnie są niedostępne dla zbadania.

Przytoczony powyżej szkic takiej lokomobili wskazuje, że możliwe jest tylko obejrzenie górnych części tylnego denka, płomieniówek, płomienicy i frontowego dna i to z wielkim trudem, co zaś do miejsc narażonych na większe niebezpieczeństwo, t. j. spodu kotła w przegubie, ewentualnie przy frontowym dnie, części te są zupełnie niedostępne.

Wychodząc z wyłuszczonego powyżej założenia, należy co pewien okres czasu żądać w takich lokomobilach wyjęcia systemu paleniskowego w celu zbadania stanu frontowego dna w jego dolnej części i w przegubie.

Nie bacząc na tak poważne wady konstrukcyjne omawiany typ lokomobil jest bardzo rozpowszechniony w Polsce, a szczególnie i prawie wyłącznie w Małopolsce na terenach naftowych.

Jak już notowaliśmy zagranicą zaniechano już konstrukcji walczaków o dwóch średnicach, uważając ją widocznie za wielce wadliwą, u nas zaś niektóre krajowe wytwórnie kotłów widocznie ulegają popytowi spowodowanemu albo przyzwyczajeniem nabywców, albo rutyną, a doniedawna może i brakiem fachowej porady i w dalszym ciągu konstrukcję tę stosują.

W marcu r. b. na terenie łódzkim ustawiono podobny lokomobilowy kocioł. Właściciel z góry uprzedzony został o tem, że jest narażony na wielkie trudności, związane z rewizjami kotła tego typu. Znajdując się w bardzo ciężkim położeniu musiał on nabyć to, co znalazł na rynku i z góry jest przygotowany na odsprzedanie nabytku, po uruchomieniu kotła znajdującego się w naprawie.

## KOMUNIKATY STOWARZYSZENIA WARSZAWSKIEGO.

ZMIANA ADRESU REJONOWEGO BIURA  
STOWARZYSZENIA W KIELCACH.

Biuro rejonowe w Kielcach z dniem 1 lipca r. b. przeniesione zostało na ul. *Staszica* Nr. 3. Skrzynka pocztowa Nr. 158 pozostaje nadal bez zmiany.



# Administracja Techniki Ciepłej przyjmuje ogłoszenia o kupnie i sprzedaży używanych kotłów i silników.

Za jednorazowe ogłoszenie tego rodzaju, zajmujące  $\frac{1}{16}$  część strony pisma liczyć będziemy zł. 15.

Nowy dział naszych ogłoszeń powinien spotkać się z uznaniem ze strony czytelników pisma ze względu na przystępną cenę i na celowość ogłoszeń w Technice Ciepłej.

ADMINISTRACJA

## Kupimy

**2** kotły parowe o powierzchni nagrzewalnej po 150 m. kw. każdy, ciśnienie rob. 6 atm. Opalane zwykłym węglem, nie miałem. Oferty: „Skoda, Królewska 10-6 Wydział Zakupów”.

179-1

## Kupimy kocioł parowy

50 do 70 m. kw. powierzchni ogrzewalnej 10 atm. ciśn. O ile możliwości ruszta do trocin. Oferty nadsyłać: Zarząd dóbr Siedliska ad Rawa ruska.

178-1

## IZOLACJA!

przeciw stratom ciepła w gospodarce parowej, wypromienianiu chłodu w urządzeniach chłodniczych. Izolacje budowlane przeciw wpływom atmosferycznym, oraz izolacje akustyczne wykonują sprawnie, fachowo i dostarczają wszelkich materiałów izolacyjnych.

Wielkopolskie Zakłady Izolacyjne  
**ALEKSANDER RĄCZKOWSKI**

Skrót telegr. „Alra” Poznań, Plac Wolności 17  
Telefon 2312.

165-9

Biuro Techniczne

**Inż. Miecz. St. Feilchenfeld**

Warszawa, Królewska 20. Tel. 320-16 i 290-19.

MOTORY,

dynamomaszyny wszelkich napięć, transformatory oraz silniki na wszelkie paliwa.

Naprawa i zamiana motorów i dynamo.

Instalacje siły i światła oraz skład materiałów i lamp elektrycznych.

OBRABIARKI

do metali i drzewa oraz wszelkie narzędzia.

282-1

# IZOLACJA Sp. z o. o. KATOWICE

Tel. 230.

UL. KAMIENNA 4.

Tel. 230.

**Izolujemy!** przeciw stratom zimna i ciepła.

**Izolujemy PARATECTEM!** nieuszczelne dachy tekturowe i blaszane, wilgotne piwnice, ściany i t. p. pod 10-cio letnią gwarancją.

Dostawa wszelkich materiałów izolacyjnych.

Roboty wykonywane pod kierownictwem dzielnych fachowych rzeczoznawców.

185-1

# THE INTERNATIONAL SHIPBUILDING AND ENGINEERING Co. Ltd.

(MIĘDZYNARODOWE TOWARZYSTWO BUDOWY OKRĘTÓW I MASZYN Sp. Akc.)

## GDAŃSK

dostarcza

z własnych warsztatów, przeto **wolne od cła** dla budowy wzgl. powiększeń elektrowni

**wysokoprężne kotły parowe** dla wszelkich ciśnień w różnych wielkościach  
**silniki Diesla**, budowy stojącej i leżącej o mocy od 6 do 1200 KM  
**olejowe przetworniki prądu trójfazowego** dla sprawności do 100 KVA  
i napięć do 20.000 Volt

**silniki elektryczne** dla wszelkich używanych napięć (silniki prądu trójfazowego do 35 KW, silniki prądu stałego do 6,12 KW prądnice prądu stałego do 4,5 KW)

Badanie istniejących siłowni parowych, odwiedziny inżynierów  
i porady fachowe — **bezpłatnie**.

Przewijanie silników elektrycznych i przetworników wszelkich systemów na inne napięcia w naszej nowoczesnie urządzonej fabryce silników elektrycznych,  
**po cenach bardzo przystępnych**

184—1

## WARSZAWSKA SPÓŁKA AKCYJNA

# Budowy Parowozów

TELEFONY: 131-61.  
268-60, 131-34, 77-77.

WARSZAWA, UL. KOLEJOWA 57.

Adres telegraficzny:  
„LOKOMOT-WARSZAWA“

FABRYKA PRODUKUJE:

1. PAROWOZY normalne i wązkotorowe wszelkich typów i mocy.
2. LOKOMOTYWY motorowe normalne i wązkotorowe, pędzone specjalnymi silnikami Diesla lub benzynowymi z zupełną regulacją szybkości.
3. LOKOMOTYWY bezogniowe normalne i wązkotorowe.
4. SILNIKI spalinowe Diesla systemu prof. D-ra L. Ebermana stojące, szybkobieżne od 25 do 2000 km.
5. WALCE drogowe motorowe i parowe z kotłem poziomym i pionowym na 8, 10, 12 i 15 ton wagi wraz z częściami pomocniczymi.
6. LOKOMOBILE przemysłowe i rolnicze
7. KOTŁY parowe wszelkich typów.
8. WYROBY KUTE do 2 ton wagi.
9. WYROBY TŁOCZONE (masowa produkcja) z blach żelaznych i stalowych do 30 mm. grubości.
10. ARMATURA brązowa i mosiężna.
11. Wszelkie części zapasowe dla wyrabianych przedmiotów.
12. Naprawa parowozów, silników, kotłów oraz naprawa i przeróbka wszelkich urządzeń mechanicznych.

Kosztorysy i porady techniczne **bezpłatnie**.

183-12



**ZAKŁADY**  
**„EKONOMIA”**  
**BIELSKO**  
**WOJ. ŚL.**

NASZE APARATY  
 OCZYSZCZAJĄ  
 W POLSCE ≈  
 30K.5000000  
 LITRÓW WODY  
 DZIENNIE

**OCZYSZCZANIE**  
**Wody**

*Zmiękczenie  
 Filtrowanie  
 Odżelazianie  
 Odmangan.  
 Destylacja  
 Sterylizacja  
 Odpowietrzanie etc.  
 Analizy*

w WARSZAWIE:  
 inż. **B. RUDZIŃSKI**  
 Wilcza 39-4, tel. 322-63.

162-4

**STOWARZYSZENIE**

**Mechaników Polskich z Ameryki**

Warszawa, Marszałkowska 46.

Telefony: 106-06, 106-22,  
 106-99, 106-13.

Adres telegr.  
 Pmechanics Warszawa.

- 1) Obrabiarki do metali i drzewa różnych typów.
- 2) Precyzyjne narzędzia ręczne i maszynowe.
- 3) Przyrządy do obrabiarek, imadła równoległe.
- 4) Obrabiarki i narzędzia specjalne dla przemysłu wojennego i kolejnictwa.
- 5) Odlewy żeliwne maszynowe, cylindry parowozowe, koła pędne i linowe, rury wodociągowe i kanalizacyjne — rury żebrowe, drut i gwoździe.

Prospekty i oferty na żądanie.

1-181

**„Powszechne Towarzystwo Elektryczne **AEG**”**

Warszawa, Krakowskie Przedmieście 16/18

**KRAKÓW**  
 ul. Dunajewskiego 3.

**ŁÓDŹ**  
 ul. Piotrowska 65.

**POZNAŃ**  
 ul. Św. Marcina 41.

**SOSNOWIEC**  
 ul. Warszawska 6.

Wszelkie instalacje elektryczne. Wielkie składy materiałów elektrycznych.

159-4

**ADAM SŁUCKI**

Inżynier Doradca  
 WARSZAWA, ul. KRÓLEWSKA 27  
 Nr. Tel. 141-38.

**PORADY**

w dziedzinie gospodarki cieplnej, kotłów maszyn i turbin parowych, lokomobil i silników spalinowych.

**Indykowanie silników**

Chłodnie kominowe do wody dla kondensacji turbin i maszyn parowych.

158-6

NAKŁADEM STOW. DOZORU KOTŁÓW W WARSZAWIE WYSZŁA Z DRUKU PRACA:  
 PROF. Dr. WIESŁAW CHRZANOWSKI. STAWIDŁA MASZYN PAROWYCH,

**CZĘŚĆ I. STAWIDŁA SUWAKOWE**

CENA ZŁ. 9.

DO NABYCIA WE WSZYSTKICH KSIĘGARNIACH.



# FABRYKA PALENISK MECHANICZNYCH

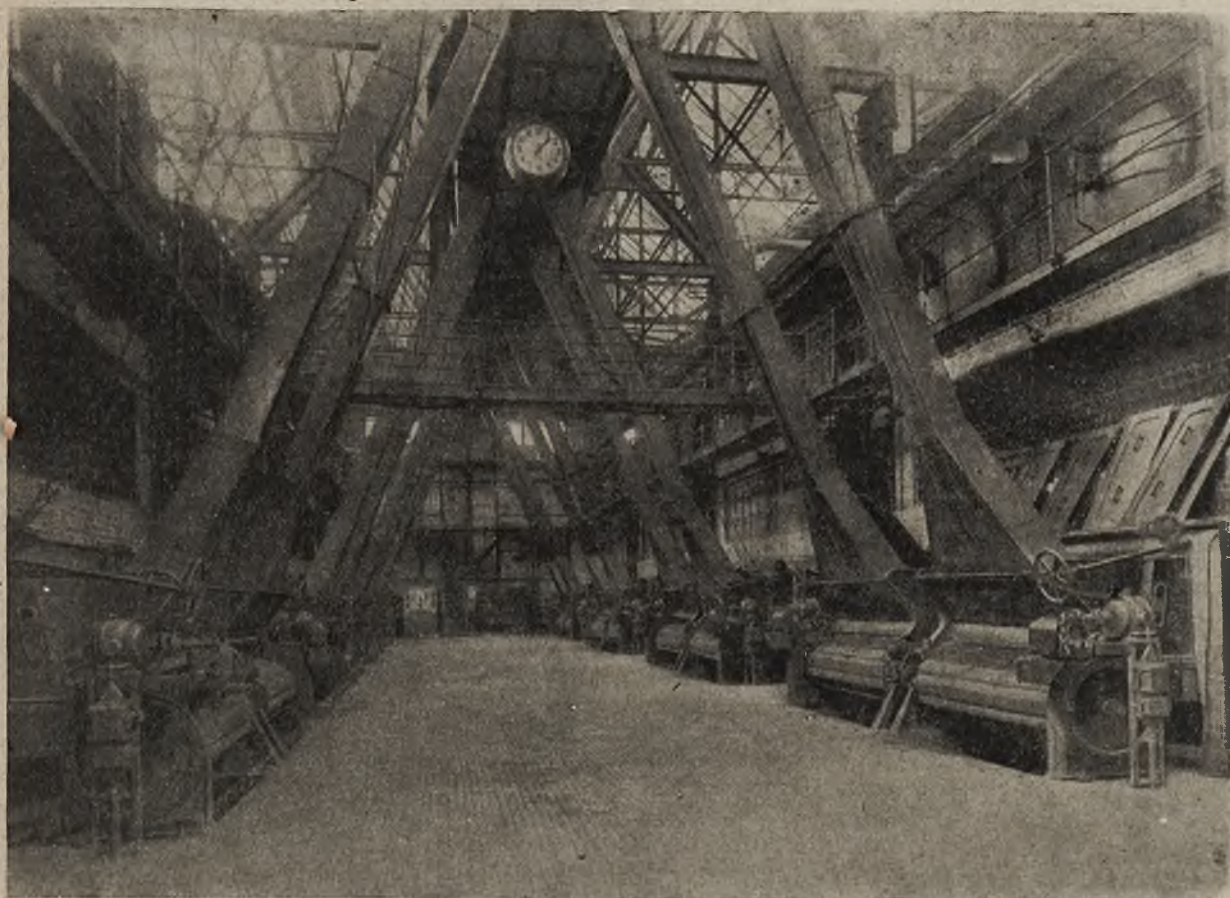
Tow. z ogr. odp.

(WANDERROST - WERKE G. m. b. H.)

MIKOŁÓW, Polski G. Śląsk

Specjalna Fabryka Rusztów Mechanicznych syst. „IDEAL“

Wykonano około 1500 rusztów mechanicznych syst. „IDEAL“.



Ruszty mechaniczne syst. „IDEAL“ w PAŃSTWOWEJ FABRYCE ZWIĄZKÓW AZOTOWYCH w CHORZOWIE.

## WYROBY FABRYKI:

1. **RUSZTY MECHANICZNE** syst. „IDEAL“ z podwiewem i bez podwiewu.
  - a) AMERYKAŃSKIE wiszące sklepienia paleniskowe.
2. **PRZEWODY** rurowe wysokiego i niskiego ciśnienia.
3. **URZĄDZENIA DO OCZYSZCZANIA WODY** patentowane do wszelkich celów.
4. **Odlewy żeliwne** maszynowo i ręcznie formowane, od najmniejszych do 5000 kg wagi, surowe i obrabiane.
  - a) Przewody rurowe żeliwne do 1200 mm  $\emptyset$ .

GENERALNY PRZEDSTAWICIEL Inż. WŁ. BUDZIŃSKI WARSZAWA, Smolna 25, Tel. 39-32.